

Esercitazione 9

December 5, 2024

1 Denoising

In questa esercitazione vediamo come fare un denoising di alcune immagini (pulizia) e il riconoscimento di oggetti. Per questa seconda parte ci sono tecniche più evolute di quelle che vedremo, ma sono computazionalmente molto complicate

Carichiamo delle immagini che trovate anche in cartella

```
[158]: library(imager)
library(jpeg)
library(ggplot2)
library(tidyverse)

# John Frusciante
data_image_all_frusciante <- readJPEG("/Users/gianlucamastrantonio/Dropbox_
↳ (Politecnico di Torino Staff)/Didattica/statistica computazionale/esercizi/
↳ image/Niandra.jpeg")
# Jeff Buckley
data_image_all_buckley <- readJPEG("/Users/gianlucamastrantonio/Dropbox_
↳ (Politecnico di Torino Staff)/Didattica/statistica computazionale/esercizi/
↳ image/buckley.jpeg")
# Rick
data_image_all_rick <- readJPEG("/Users/gianlucamastrantonio/Dropbox_
↳ (Politecnico di Torino Staff)/Didattica/statistica computazionale/esercizi/
↳ image/rick.jpg")
```

Le immagini sono caricate su tre canali (i colori), e trasformiamole in scala di grigi, così da avere un valore per ogni pixel. La classica trasformazione è

$$0.2990 * \text{rosso} + 0.5870 * \text{giallo} + 0.1140 * \text{blue}$$

```
[159]: R <- t(data_image_all_frusciante[rev(1:dim(data_image_all_frusciante)[1]), , 1])
G <- t(data_image_all_frusciante[rev(1:dim(data_image_all_frusciante)[1]), , 2])
B <- t(data_image_all_frusciante[rev(1:dim(data_image_all_frusciante)[1]), , 3])
data_grey_image_all_frusciante <- 0.2990 * R + 0.5870 * G + 0.1140 * B

R <- t(data_image_all_buckley[rev(1:dim(data_image_all_buckley)[1]), , 1])
```

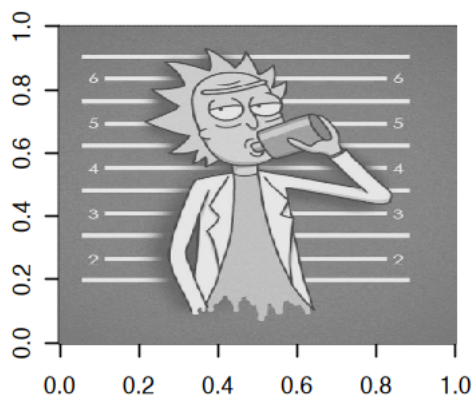
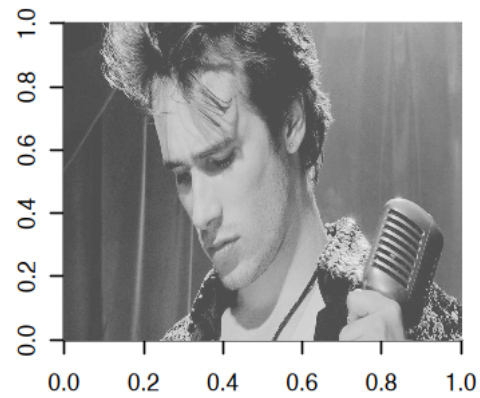
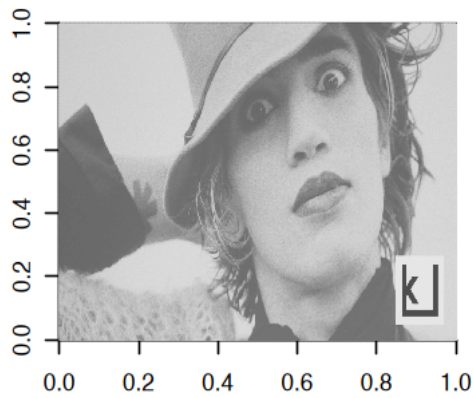
```

G <- t(data_image_all_buckley[rev(1:dim(data_image_all_buckley)[1]), , 2])
B <- t(data_image_all_buckley[rev(1:dim(data_image_all_buckley)[1]), , 3])
data_grey_image_all_buckley <- 0.2990 * R + 0.5870 * G + 0.1140 * B

R <- t(data_image_all_rick[rev(1:dim(data_image_all_rick)[1]), , 1])
G <- t(data_image_all_rick[rev(1:dim(data_image_all_rick)[1]), , 2])
B <- t(data_image_all_rick[rev(1:dim(data_image_all_rick)[1]), , 3])
data_grey_image_all_rick <- 0.2990 * R + 0.5870 * G + 0.1140 * B

par(mfrow=c(2,2))
image(data_grey_image_all_frusciante, col= grey.colors(100))
image(data_grey_image_all_buckley, col = grey.colors(100))
image(data_grey_image_all_rick, col = grey.colors(100))
par(mfrow = c(1, 1))

```



Per avere tempi computazionali accettabili, riduciamo il numero di pixel per immagine.

Aggiungiamo anche un rumore gaussiano a componenti indipendenti su ogni punto. fate attenzione che i dati appartengono a $[0, 1]$

```
[160]: range(c(data_grey_image_all_frusciante))
       range(c(data_grey_image_all_buckley))
       range(c(data_grey_image_all_rick))
```

1. 0 2. 1

1. 0 2. 1

1. 0 2. 1

se aggiungiamo un rumore gaussiano dobbiamo trasformare in 0 tutti i valori negativi, e in 1 tutti

quelli superiori a 1.

```
[161]: set.seed(1)
library(gridExtra)
# Frusciante
data_image_frusciante <- data_grey_image_all_frusciante[seq(1,
  ↪nrow(data_grey_image_all_frusciante), by = 15), seq(1,
  ↪ncol(data_grey_image_all_frusciante), by = 15)]
data_long_frusciante <- data.frame(
  x = rep(1:nrow(data_image_frusciante), times = ncol(data_image_frusciante)),
  y = rep(1:ncol(data_image_frusciante), each = nrow(data_image_frusciante)),
  val_orig = c(data_image_frusciante),
  val = c(data_image_frusciante) + rnorm(nrow(data_image_frusciante) *
  ↪ncol(data_image_frusciante), 0, 0.05)
)
data_long_frusciante$val[data_long_frusciante$val <= 0] <- 0
data_long_frusciante$val[data_long_frusciante$val >= 1] <- 1

p1 <- data_long_frusciante %>% ggplot(aes(x = x, y = y, fill = val_orig)) +
  geom_tile() +
  scale_fill_gradient(low = "black", high = "white") + theme(legend.position =
  ↪"bottom")

p2 <- data_long_frusciante %>% ggplot(aes(x = x, y = y, fill = val)) +
  geom_tile() +
  scale_fill_gradient(low = "black", high = "white") + theme(legend.position =
  ↪"bottom")

grid.arrange(p1, p2, ncol = 2)

data_image_buckley <- data_grey_image_all_buckley[seq(1,
  ↪nrow(data_grey_image_all_buckley), by = 30), seq(1,
  ↪ncol(data_grey_image_all_buckley), by = 10)]
data_long_buckley <- data.frame(
  x = rep(1:nrow(data_image_buckley), times = ncol(data_image_buckley)),
  y = rep(1:ncol(data_image_buckley), each = nrow(data_image_buckley)),
  val_orig = c(data_image_buckley),
  val = c(data_image_buckley) + rnorm(nrow(data_image_buckley) *
  ↪ncol(data_image_buckley), 0, 0.05)
)
data_long_buckley$val[data_long_buckley$val <= 0] <- 0
data_long_buckley$val[data_long_buckley$val >= 1] <- 1

p1 <- data_long_buckley %>% ggplot(aes(x = x, y = y, fill = val_orig)) +
  geom_tile() +
  scale_fill_gradient(low = "black", high = "white") +
```

```

  theme(legend.position = "bottom")

p2 <- data_long_buckley %>% ggplot(aes(x = x, y = y, fill = val)) +
  geom_tile() +
  scale_fill_gradient(low = "black", high = "white") +
  theme(legend.position = "bottom")

grid.arrange(p1, p2, ncol = 2)

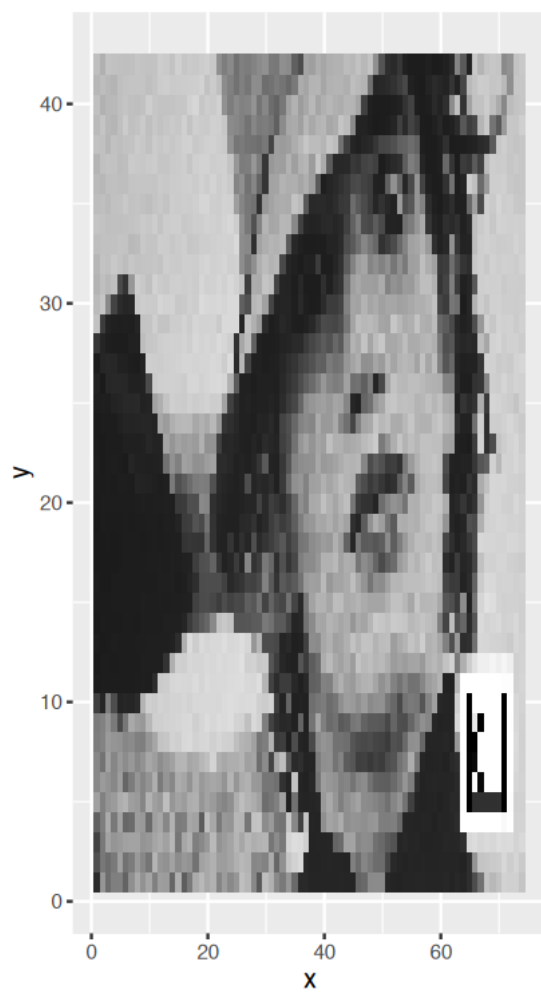
data_image_rick <- data_grey_image_all_rick[seq(1,
  ↪nrow(data_grey_image_all_rick), by = 5), seq(1,
  ↪ncol(data_grey_image_all_rick), by = 8)]
data_long_rick <- data.frame(
  x = rep(1:nrow(data_image_rick), times = ncol(data_image_rick)),
  y = rep(1:ncol(data_image_rick), each = nrow(data_image_rick)),
  val_orig = c(data_image_rick),
  val = c(data_image_rick) + rnorm(nrow(data_image_rick) *
  ↪ncol(data_image_rick), 0, 0.05)
)
data_long_rick$val[data_long_rick$val <= 0] <- 0
data_long_rick$val[data_long_rick$val >= 1] <- 1

p1 <- data_long_rick %>% ggplot(aes(x = x, y = y, fill = val_orig)) +
  geom_tile() +
  scale_fill_gradient(low = "black", high = "white") +
  theme(legend.position = "bottom")

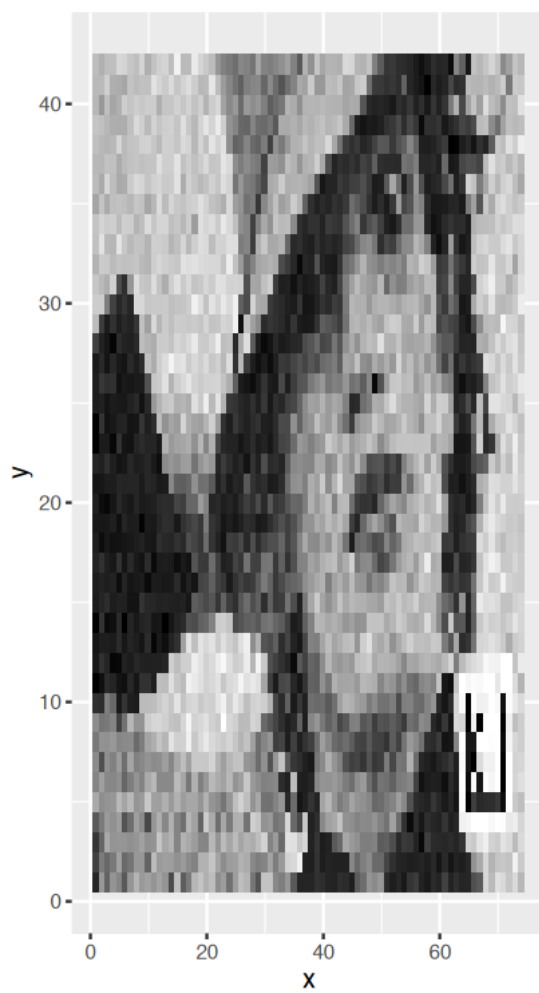
p2 <- data_long_rick %>% ggplot(aes(x = x, y = y, fill = val)) +
  geom_tile() +
  scale_fill_gradient(low = "black", high = "white") +
  theme(legend.position = "bottom")

grid.arrange(p1, p2, ncol = 2)

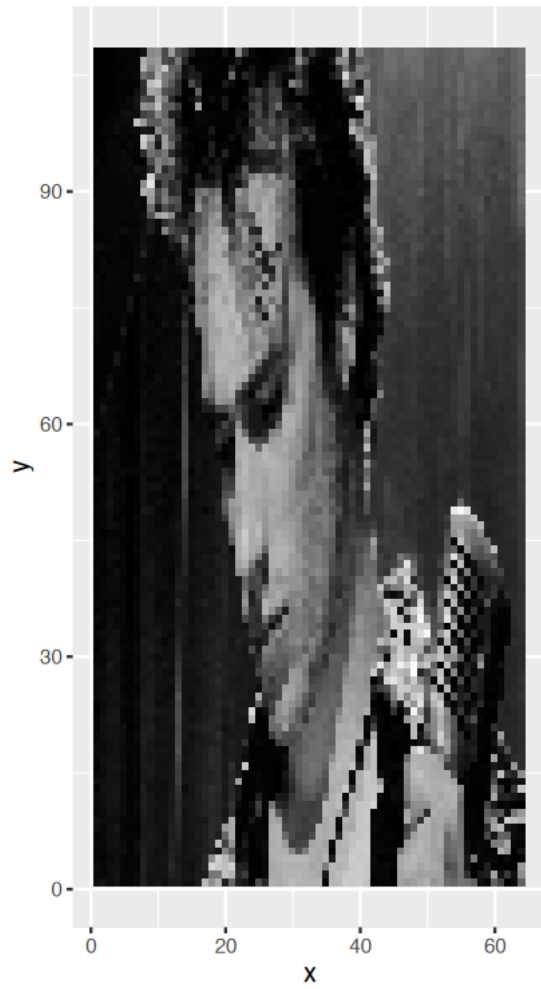
```



val_orig 0.00 0.25 0.50 0.75

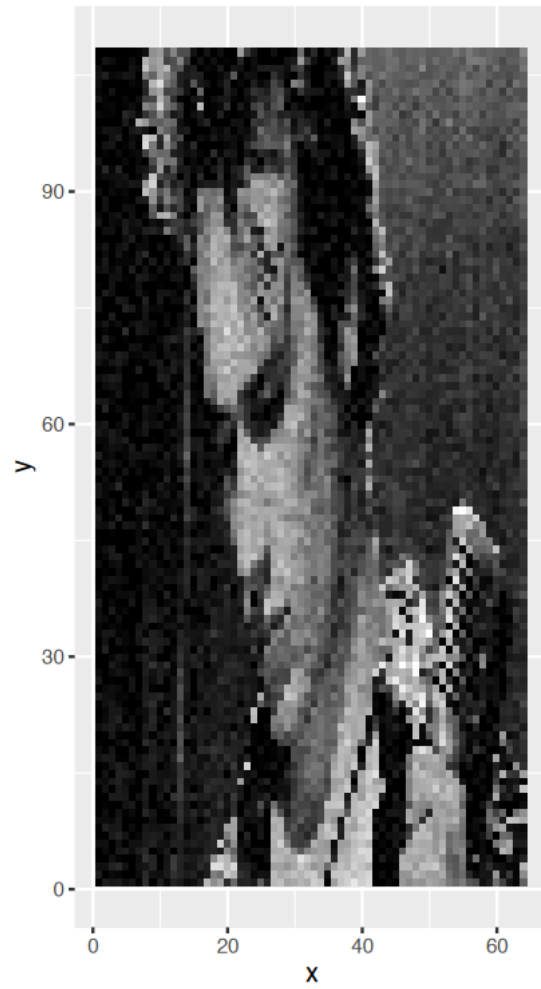


val 0.00 0.25 0.50 0.75 1.00



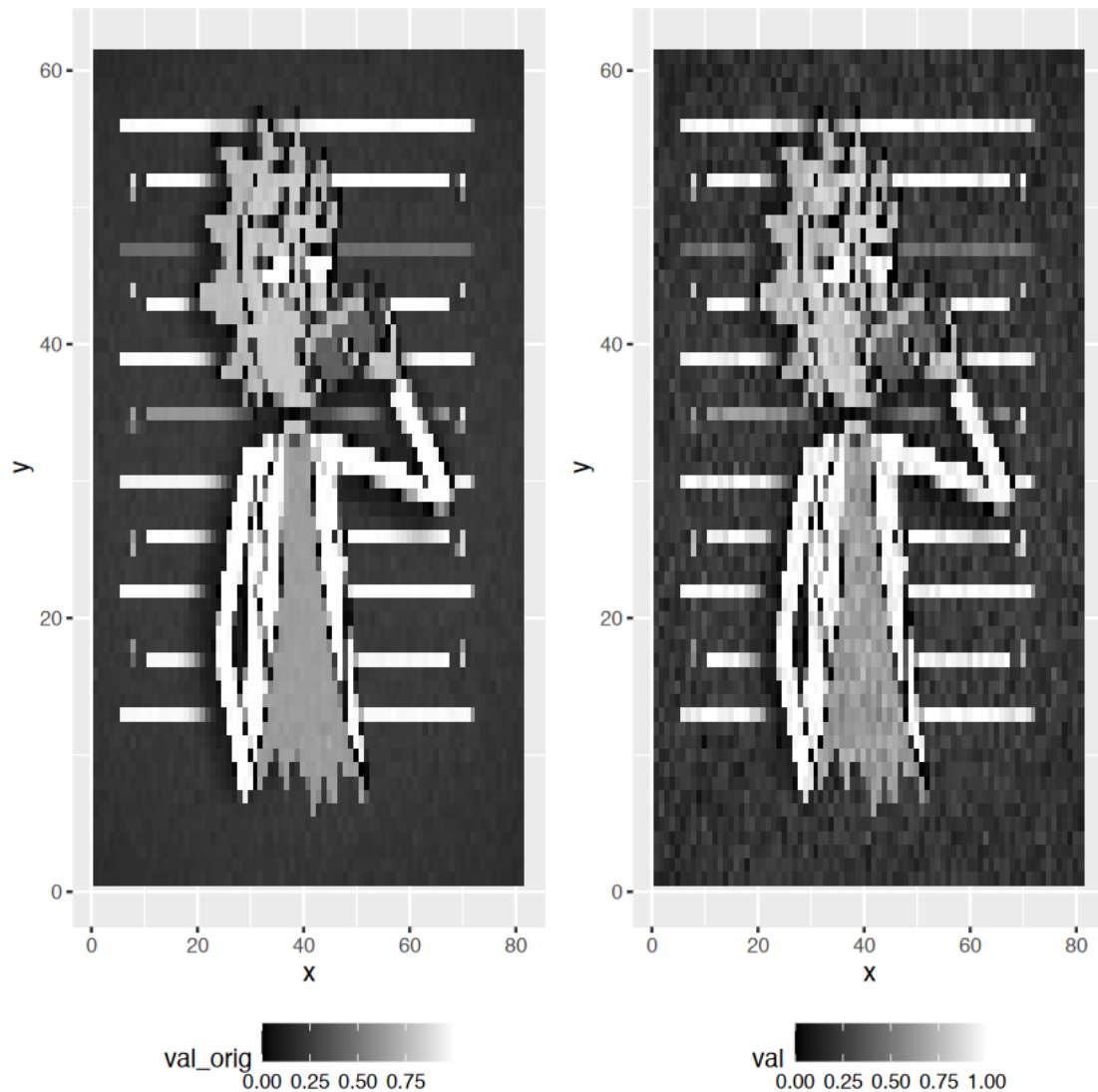
val_orig

0.00 0.25 0.50 0.75



val

0.00 0.25 0.50 0.75 1.00



Immaginiamo che le immagini siano i nostri dati e siamo interessati a pulire le immagini (renderle meno rumorose). Per semplicità ne scegliamo 1.

```
[162]: data_long <- data_long_frusciante
      data_image <- data_image_frusciante
```

Indichiamo con

$$X_{i,j}$$

il valore sul pixel (i, j) , con $X_{i,j} \in [0, 1]$. Per l'MCMC dobbiamo delle volte lavorare con vettori e quindi quanto uso un solo indice, tipo X_l , indico l-esimo valore del vettore che contiene tutti i punti griglia (vale per anche le altre variabili)

La distribuzione dovrebbe avere masse di probabilità su zero e 1. Quello che possiamo fare è

introdurre una variabile $Y_{i,j}$ che definita come

$$Y_{i,j} = X_{i,j} \text{ if } X_{i,j} \in (0, 1)$$

$$Y_{i,j} < 0 \text{ if } X_{i,j} = 0$$

$$Y_{i,j} > 1 \text{ if } X_{i,j} = 1$$

Questo ci permette di lavorare con una variabile in \mathbb{R} . Naturalmente parte di Y non lo conosciamo e va stimato/campionato. Notate che

$$P(X_{i,j} = 0) = P(Y_{i,j} < 0)$$

$$P(X_{i,j} = 1) = P(Y_{i,j} > 1)$$

Il modello che vorremmo implementare è

$$Y_{i,j}|w_{i,j} \sim N(\mu + \beta w_{i,j}, \sigma^2)$$

con

$$\mathbf{w} \sim ICAR(\mathbf{H})$$

dove (i, j) sono le coordinate di riga e colonna dei pixel, e $ICAR(H)$ è un modello ICAR con matrice di vicinanza pari a \mathbf{H} . La matrice H in posizione j, i contiene un 1 se e solo se i e j sono vicine (le osservazioni non sono vicine di se stesse). Data la matrice di vicini, la densità congiunta è pari a

$$f(\mathbf{w}) \propto \exp(-\mathbf{w}^T(\mathbf{D}_w - \mathbf{H})\mathbf{w})$$

dove \mathbf{D}_w è una matrice diagonale che sulla diagonale i -esima ha la somma degli elementi della riga i -esima di \mathbf{H}

la a posteriori di

$$\mu + \beta w_{i,j}$$

è quello che ci interessa visto che è la versione smooth dei dati.

Notate che se definisco

$$w_{i,j}^* = \beta w_{i,j}$$

ho che β^* è la varianza del processo. con un ICAR si preferisce scriverla così perchè non essendo una distribuzione proper non è sempre chiaro come scrivere la costante di normalizzazione, che dipende dalla varianza, visto che non integra a 1.

La prima cosa che dobbiamo fare è definire i vicini. Sotto trovate diverse funzioni che calcolano i vicini di ogni osservazione, assumendo che questi siano al più 4, o 8 o 20.

```
[163]: find_neighbors_4 <- function(row, col, n, m) {
  neighbors <- list(
    c(row - 1, col),
    c(row + 1, col),
    c(row, col - 1),
    c(row, col + 1)
  )
}
```

```

# Filter out neighbors that are outside the grid boundaries
neighbors <- Filter(function(cell) {
  cell[1] >= 1 && cell[1] <= n && cell[2] >= 1 && cell[2] <= m
}, neighbors)

return(neighbors)
}
data_neigh_4 <- list()
for (i in 1:nrow(data_long)) {
  coord_neigh <- find_neighbors_4(data_long$x[i], data_long$y[i],
  ↪nrow(data_image), ncol(data_image))

  w <- rep(NA, length(coord_neigh))
  for (i_neigh in 1:length(coord_neigh))
  {
    w[i_neigh] <- which(
      data_long$x == coord_neigh[[i_neigh]][1] &
      data_long$y == coord_neigh[[i_neigh]][2]
    )
  }
  data_neigh_4[[i]] <- w
}

find_neighbors_8 <- function(row, col, n, m) {
  neighbors <- list(
    c(row - 1, col),
    c(row + 1, col),
    c(row, col - 1),
    c(row, col + 1),
    c(row - 1, col - 1),
    c(row - 1, col + 1),
    c(row + 1, col - 1),
    c(row + 1, col + 1)
  )

  # Filter out neighbors that are outside the grid boundaries
  neighbors <- Filter(function(cell) {
    cell[1] >= 1 && cell[1] <= n && cell[2] >= 1 && cell[2] <= m
  }, neighbors)

  return(neighbors)
}

data_neigh_8 <- list()
for (i in 1:nrow(data_long)) {

```

```

coord_neigh <- find_neighbors_8(data_long$x[i], data_long$y[i],
↪nrow(data_image), ncol(data_image))

w <- rep(NA, length(coord_neigh))
for (i_neigh in 1:length(coord_neigh))
{
  w[i_neigh] <- which(
    data_long$x == coord_neigh[[i_neigh]][1] &
    data_long$y == coord_neigh[[i_neigh]][2]
  )
}
data_neigh_8[[i]] <- w
}

find_neighbors_20 <- function(row, col, n, m) {
  neighbors <- list(
    c(row - 1, col),
    c(row - 2, col),
    c(row + 1, col),
    c(row + 2, col),
    c(row, col - 1),
    c(row, col - 2),
    c(row, col + 1),
    c(row, col + 2),
    c(row - 1, col - 1),
    c(row - 1, col - 2),
    c(row - 2, col - 1),
    c(row - 1, col + 1),
    c(row - 1, col + 2),
    c(row - 2, col + 1),
    c(row + 1, col - 1),
    c(row + 1, col - 2),
    c(row + 2, col - 1),
    c(row + 1, col + 1),
    c(row + 1, col + 2),
    c(row + 2, col + 1)
  )

  # Filter out neighbors that are outside the grid boundaries
  neighbors <- Filter(function(cell) {
    cell[1] >= 1 && cell[1] <= n && cell[2] >= 1 && cell[2] <= m
  }, neighbors)

  return(neighbors)
}

```

```

data_neigh_20 <- list()
for (i in 1:nrow(data_long)) {
  coord_neigh <- find_neighbors_20(data_long$x[i], data_long$y[i],
  ↪nrow(data_image), ncol(data_image))

  w <- rep(NA, length(coord_neigh))
  for (i_neigh in 1:length(coord_neigh))
  {
    w[i_neigh] <- which(
      data_long$x == coord_neigh[[i_neigh]][1] &
      data_long$y == coord_neigh[[i_neigh]][2]
    )
  }
  data_neigh_20[[i]] <- w
}

```

Vediamo i 3 tipi di vicini per un punto specifico

```

[182]: i1 = 40
i2 <- 500

p4_1 <- data_long %>% ggplot(aes(x = x, y = y)) +
  geom_point(size = 0.001) + geom_point(data = data_long[data_neigh_4[[i1]],],
  ↪aes(x = x, y = y), color = "red") +
  geom_point(data = data_long[data_long$x == data_long$x[i1] & data_long$y ==
  ↪data_long$y[i1], ], aes(x = x, y = y), color = "blue") +
  xlim(30, 50) +
  ylim(0, 20)

p4_2 <- data_long %>% ggplot(aes(x = x, y = y)) +
  geom_point(size = 0.001) +
  geom_point(data = data_long[data_neigh_4[[i2]], ], aes(x = x, y = y), color =
  ↪"red") +
  geom_point(data = data_long[data_long$x == data_long$x[i2] & data_long$y ==
  ↪data_long$y[i2], ], aes(x = x, y = y), color = "blue") +
  xlim(50, 70) +
  ylim(0, 20)

p8_1 <- data_long %>% ggplot(aes(x = x, y = y)) +
  geom_point(size = 0.001) +
  geom_point(data = data_long[data_neigh_8[[i1]], ], aes(x = x, y = y), color =
  ↪"red") +
  geom_point(data = data_long[data_long$x == data_long$x[i1] & data_long$y ==
  ↪data_long$y[i1], ], aes(x = x, y = y), color = "blue") +
  xlim(30, 50) +
  ylim(0, 20)

p8_2 <- data_long %>% ggplot(aes(x = x, y = y)) +
  geom_point(size = 0.001) +

```

```

    geom_point(data = data_long[data_neigh_8[[i2]], ], aes(x = x, y = y), color = "red") +
    geom_point(data = data_long[data_long$x == data_long$x[i2] & data_long$y == data_long$y[i2], ], aes(x = x, y = y), color = "blue") +
    xlim(50, 70) +
    ylim(0, 20)
p20_1 <- data_long %>% ggplot(aes(x = x, y = y)) +
    geom_point(size = 0.001) +
    geom_point(data = data_long[data_neigh_20[[i1]], ], aes(x = x, y = y), color = "red") +
    geom_point(data = data_long[data_long$x == data_long$x[i1] & data_long$y == data_long$y[i1], ], aes(x = x, y = y), color = "blue") +
    xlim(30, 50) +
    ylim(0, 20)
p20_2 <- data_long %>% ggplot(aes(x = x, y = y)) +
    geom_point(size = 0.001) +
    geom_point(data = data_long[data_neigh_20[[i2]], ], aes(x = x, y = y), color = "red") +
    geom_point(data = data_long[data_long$x == data_long$x[i2] & data_long$y == data_long$y[i2], ], aes(x = x, y = y), color = "blue") +
    xlim(50, 70) +
    ylim(0, 20)

grid.arrange(p4_1, p4_2, p8_1, p8_2, p20_1, p20_2, ncol=2)

#i = 100

#data_long %>% ggplot(aes(x = x, y = y)) +
#  geom_point(size = 0.001) +
#  geom_point(data = data_long[data_neigh[[i]], ], aes(x = x, y = y), color = "red") +
#  geom_point(data = data_long[data_long$x == data_long$x[i] & data_long$y == data_long$y[i], ], aes(x = x, y = y), color = "blue")

```

Warning message:

"Removed 2688 rows containing missing values or values outside the scale range
 (`geom_point()`)."

Warning message:

"Removed 2688 rows containing missing values or values outside the scale range
 (`geom_point()`)."

Warning message:

"Removed 2688 rows containing missing values or values outside the scale range
 (`geom_point()`)."

Warning message:

"Removed 2688 rows containing missing values or values outside the scale range

(`geom_point()`)."
Warning message:

"Removed 2688 rows containing missing values or values outside the scale range

(`geom_point()`)."
Warning message:

"Removed 2688 rows containing missing values or values outside the scale range

(`geom_point()`)."
Warning message:

"Removed 2688 rows containing missing values or values outside the scale range

(`geom_point()`)."
Warning message:

"Removed 2688 rows containing missing values or values outside the scale range

(`geom_point()`)."
Warning message:

"Removed 2688 rows containing missing values or values outside the scale range

(`geom_point()`)."
Warning message:

"Removed 2688 rows containing missing values or values outside the scale range

(`geom_point()`)."
Warning message:

"Removed 2688 rows containing missing values or values outside the scale range

(`geom_point()`)."
Warning message:

"Removed 2688 rows containing missing values or values outside the scale range

(`geom_point()`)."
Warning message:

"Removed 2688 rows containing missing values or values outside the scale range

(`geom_point()`)."
Warning message:

"Removed 2688 rows containing missing values or values outside the scale range

(`geom_point()`)."
Warning message:

"Removed 2688 rows containing missing values or values outside the scale range

(`geom_point()`)."
Warning message:

"Removed 2688 rows containing missing values or values outside the scale range

(`geom_point()`)."
Warning message:

"Removed 2688 rows containing missing values or values outside the scale range

(`geom_point()`)."
Warning message:

"Removed 2688 rows containing missing values or values outside the scale range

(`geom_point()`)."
Warning message:

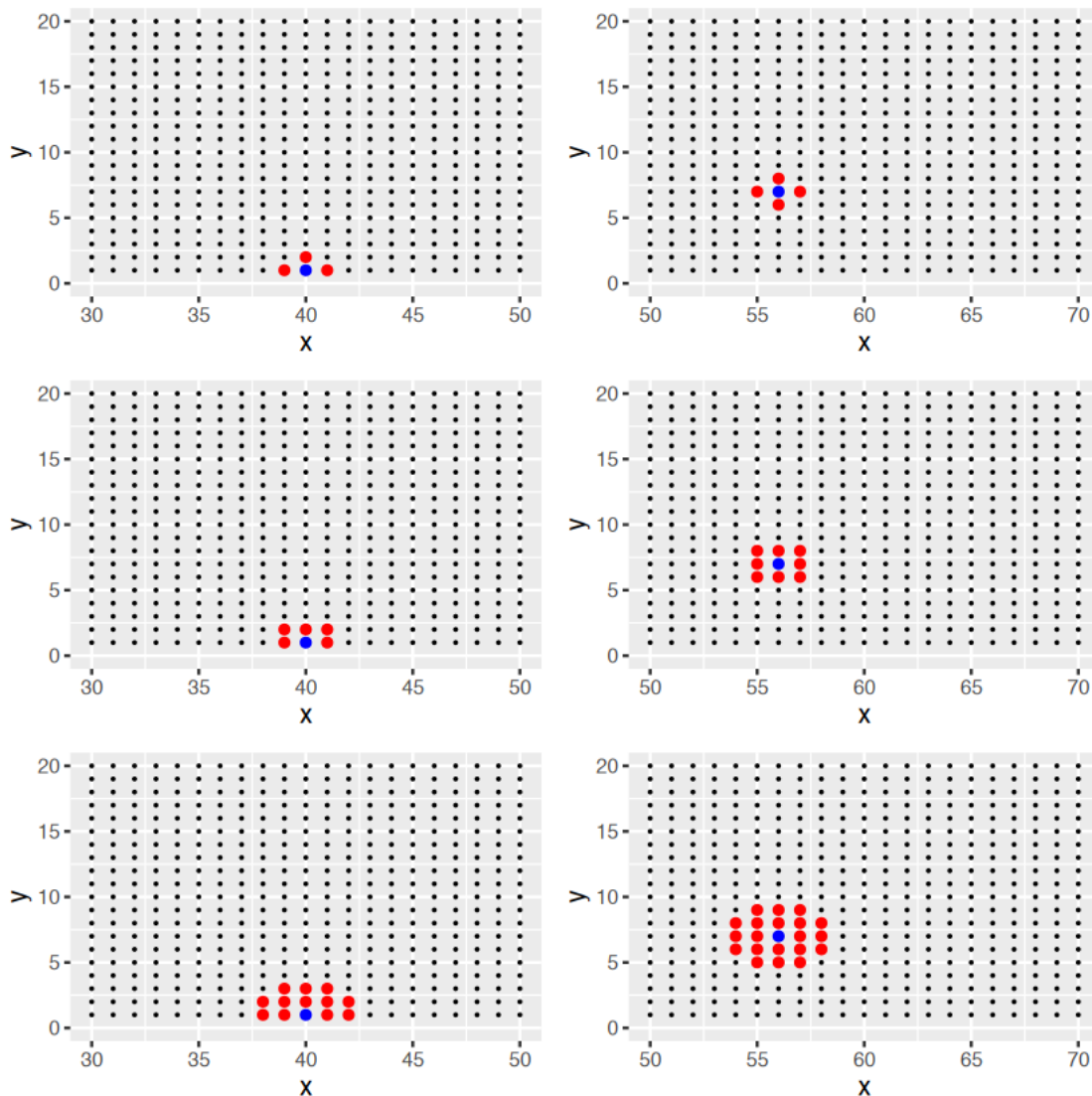
"Removed 2688 rows containing missing values or values outside the scale range

(`geom_point()`)."
Warning message:

"Removed 2688 rows containing missing values or values outside the scale range

(`geom_point()`)."
Warning message:

"Removed 2688 rows containing missing values or values outside the scale range



Adesso che abbiamo i vicini, scegliamo una struttura e calcoliamo la matrice di precisione del

processo. Più vicini utilizzate e più smooth sarà il risultato

```
[165]: data_neigh <- data_neigh_20
Hmat <- matrix(0, nrow = nrow(data_long), ncol = nrow(data_long))
Dh <- matrix(0, nrow = nrow(data_long), ncol = nrow(data_long))
for(i in 1:nrow(data_long)){
  Hmat[i, data_neigh[[i]]] <- 1
  Dh[i, i] <- sum(Hmat[i, ])
}
Sigma_inv <- Dh - Hmat
```

Intanto verifichiamo che la matrice non è a rango pieno (questo è un processo improprio). Però se la usate nel secondo livello di un modello è possibile farlo (si dimostra che la a posteriori è proper)

```
[166]: table(rowSums(Sigma_inv))
```

```
0
3108
```

tutte le righe sommano a 1.

Per implementare il modello dobbiamo definire le prior, e usiamo

$$\beta \sim N(0, 10)$$

$$\mu \sim N(0, 10)$$

$$\sigma^2 \sim IG(1, 1)$$

Nell'MCMC, oltre a queste tre variabili (che hanno un update come standard parametri di una normale) dobbiamo campionare sia \mathbf{w} che i valori di Y associate a X uguali a 0 e 1.

La full conditional di $Y_{i,j} = c$, con $c < 0$, e $X_{i,j} = 0$ si può calcolare come

$$f(Y_{i,j} = c | X_{i,j} = 0, w_{i,j}) = \frac{f(Y_{i,j} = c, X_{i,j} = 0 | w_{i,j})}{f(X_{i,j} = 0 | w_{i,j})} = \frac{f(Y_{i,j} = c | w_{i,j})}{f(X_{i,j} = 0 | w_{i,j})} = \frac{\phi(Y_{i,j} | \mu + \beta w_{i,j}, \sigma^2)}{\Phi(0 | \mu + \beta w_{i,j}, \sigma^2)}$$

dove $\phi()$ e $\Phi()$ sono densità e cumulata di una normale. Con calcoli simili abbiamo

$$f(Y_{i,j} = c | X_{i,j} = 1, w_{i,j}) = \frac{\phi(Y_{i,j} | \mu + \beta w_{i,j}, \sigma^2)}{1 - \Phi(1 | \mu + \beta w_{i,j}, \sigma^2)}$$

se $c > 1$. In entrambi i casi la distribuzione è una normale troncata.

Per l'update di \mathbf{w} potremmo campionarle tutte insieme, ma questo ci richiede di invertire una matrice molto grande. Possiamo però sfruttare il fatto che conosciamo la matrice di precisione

$$\Lambda = \mathbf{D}_w - \mathbf{H}$$

Quando calcoliamo la forma quadratica

$$\mathbf{w}^T \Lambda \mathbf{w}$$

abbiamo che gli unici termini che dipendono da $w_l = [\mathbf{w}]_l$, sono

$$w_l^2 [\Lambda]_{l,l} + 2w_l [\Lambda]_{l,-l} \mathbf{w}_{-l}$$

dove ricordiamo che gli elementi di $[\Lambda]_{l,\cdot}$ sono tutti zero tranne per i vicini di l , che ha elementi pari a -1 . Visto che nel kernel di una normale abbiamo che la forma quadratica univariata deve essere

$$w_l^2 V_c^{-1} - 2w_l V_c^{-1} M_c$$

dove V_c e M_c sono media e varianza condizionata, possiamo facilmente trovare i loro valori. Quindi simulare un w alla volta non ci porta al calcolo di inverse

scriviamo il codice e otteniamo campioni (uso molte iterazioni per avere catene a convergenza, ma voi potete usarle di meno che altrimenti ci mette troppp)

```
[167]: set.seed(1)
# Load necessary library
library(truncnorm) # For truncated normal distributions

# Set parameters for MCMC simulation
niter <- 5000 # Total number of iterations
burnin <- 3000 # Number of burn-in iterations
thin <- 2 # Thinning interval

# Identify indices where values in 'data_long$val' are 0 or 1
w_zero <- which(data_long$val == 0) # Indices of zeros
w_one <- which(data_long$val == 1) # Indices of ones

# Calculate the number of samples to save after burn-in and thinning
sample_to_save <- floor((niter - burnin) / thin)

# Prior hyperparameters
prior_par_mean_normal <- 0 # Mean for normal prior
prior_par_var_normal <- 10 # Variance for normal prior
prior_par_1_sigma2 <- 1 # Shape parameter for inverse-gamma prior
prior_par_2_sigma2 <- 1 # Scale parameter for inverse-gamma prior

# Initialize MCMC parameters
mu_mcmc <- 0 # Mean parameter
beta_mcmc <- 0.2 # Regression coefficient
sigma2_mcmc <- 0.5 # Variance of the errors
gp_mcmc <- matrix(0, nrow = nrow(data_long), ncol = 1) # Latent Gaussian process

# Matrices to store MCMC samples
mu_out <- matrix(NA, ncol = sample_to_save, nrow = 1) # Store samples of mu
beta_out <- matrix(NA, ncol = sample_to_save, nrow = 1) # Store samples of beta
```



```

sigma2_out <- matrix(NA, ncol = sample_to_save, nrow = 1) # Store samples of  $\sigma^2$ 
gp_out <- matrix(NA, ncol = sample_to_save, nrow = nrow(data_long)) # Store GP samples
mean_out <- matrix(NA, ncol = sample_to_save, nrow = nrow(data_long)) # Store posterior means

# Initialize latent variable y
y_latent <- data_long$val # Start with observed values

# Update y_latent for observed zeros and ones using truncated normal sampling
if (length(w_one) > 0) {
  y_latent[w_one] <- rtruncnorm(length(w_one),
    a = 1, b = Inf,
    mean = mu_mcmc + beta_mcmc * gp_mcmc[w_one],
    sd = sqrt(sigma2_mcmc)
  )
}
if (length(w_zero) > 0) {
  y_latent[w_zero] <- rtruncnorm(length(w_zero),
    a = -Inf, b = 0,
    mean = mu_mcmc + beta_mcmc * gp_mcmc[w_zero],
    sd = sqrt(sigma2_mcmc)
  )
}

# Number of data points
n <- length(data_long$val)

# Set initial value for burn-in counter
app <- burnin

# Begin MCMC sampling
for (save_iter in 1:sample_to_save) {
  for (imcmc in 1:app) {
    # Update sigma2 using inverse-gamma posterior
    sigma2_mcmc <- 1 / rgamma(1,
      shape = n / 2 + prior_par_1_sigma2,
      rate = sum((y_latent - mu_mcmc - beta_mcmc * gp_mcmc)^2) / 2 + prior_par_2_sigma2
    )

    # Update beta using normal posterior
    post_var <- 1 / (sum(gp_mcmc^2) / sigma2_mcmc + 1 / prior_par_var_normal)
    post_mean <- post_var * (sum(gp_mcmc * (y_latent - mu_mcmc)) / sigma2_mcmc +
      prior_par_mean_normal / prior_par_var_normal)
    beta_mcmc <- rnorm(1, mean = post_mean, sd = sqrt(post_var))
  }
}

```

```

# Update mu using normal posterior
post_var <- 1 / (n / sigma2_mcmc + 1 / prior_par_var_normal)
post_mean <- post_var * (sum(y_latent - beta_mcmc * gp_mcmc) / sigma2_mcmc +
  prior_par_mean_normal / prior_par_var_normal)
mu_mcmc <- rnorm(1, mean = post_mean, sd = sqrt(post_var))

# Update y_latent
if (length(w_one) > 0) {
  y_latent[w_one] <- rtruncnorm(length(w_one),
    a = 1, b = Inf,
    mean = mu_mcmc + beta_mcmc * gp_mcmc[w_one],
    sd = sqrt(sigma2_mcmc)
  )
}
if (length(w_zero) > 0) {
  y_latent[w_zero] <- rtruncnorm(length(w_zero),
    a = -Inf, b = 0,
    mean = mu_mcmc + beta_mcmc * gp_mcmc[w_zero],
    sd = sqrt(sigma2_mcmc)
  )
}

# Update latent Gaussian process gp_mcmc
for (i in 1:n) {
  neigh <- data_neigh[[i]] # Neighboring indices for conditional
↪distribution
  cond_var <- 1 / Sigma_inv[i, i] # Conditional variance
  cond_mean <- -(1 / Sigma_inv[i, i]) * Sigma_inv[i, neigh] %*%
↪gp_mcmc[neigh] # Conditional mean

  post_var <- 1 / (beta_mcmc^2 / sigma2_mcmc + 1 / cond_var) # Posterior
↪variance
  post_mean <- post_var * (beta_mcmc * (y_latent[i] - mu_mcmc) /
↪sigma2_mcmc +
    cond_mean / cond_var) # Posterior mean
  gp_mcmc[i] <- rnorm(1, mean = post_mean, sd = sqrt(post_var)) # Sample
↪from posterior
}
}

# Update burn-in counter for subsequent iterations
app <- thin

# Save current samples
mu_out[save_iter] <- mu_mcmc
beta_out[save_iter] <- beta_mcmc

```

```

sigma2_out[save_iter] <- sigma2_mcmc
gp_out[, save_iter] <- gp_mcmc
mean_out[, save_iter] <- mu_mcmc + beta_mcmc * gp_mcmc
mean_out[which(mean_out[, save_iter] < 0), save_iter] <- 0
mean_out[which(mean_out[, save_iter] > 1), save_iter] <- 1
}

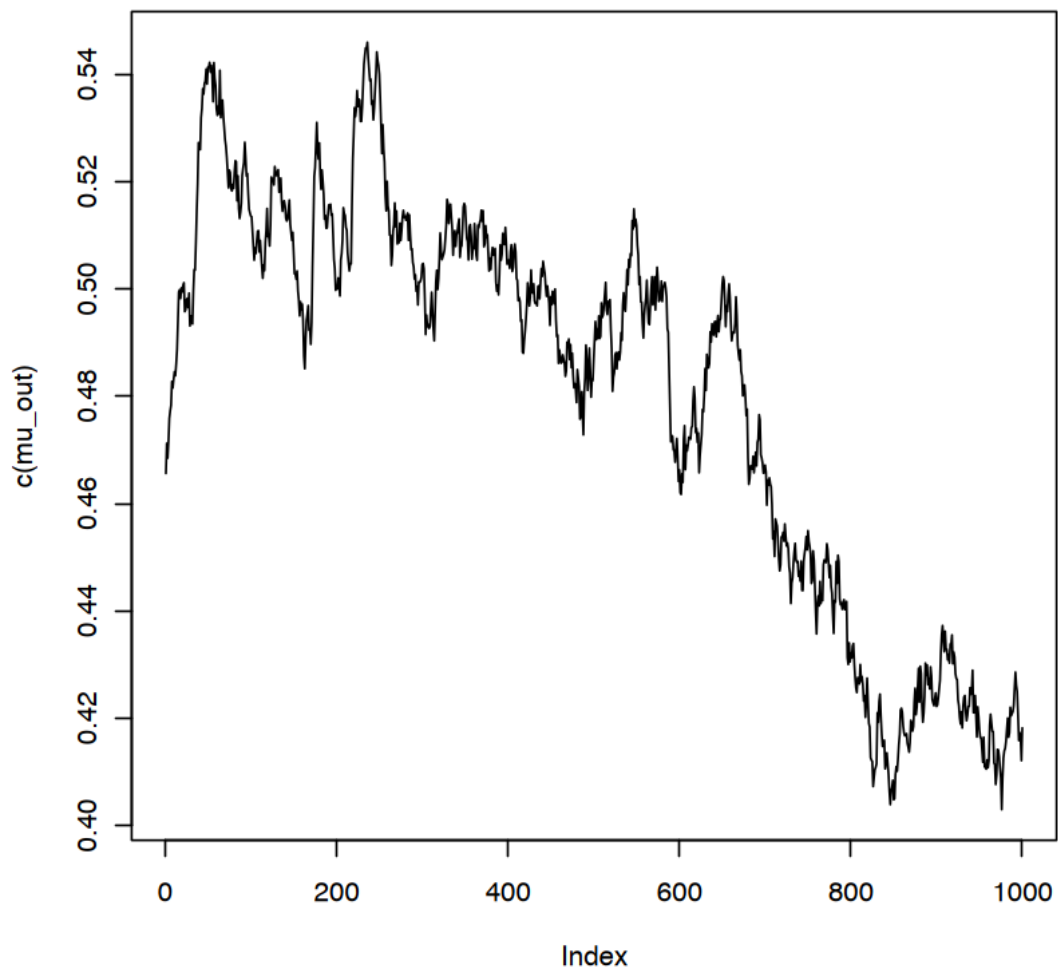
```

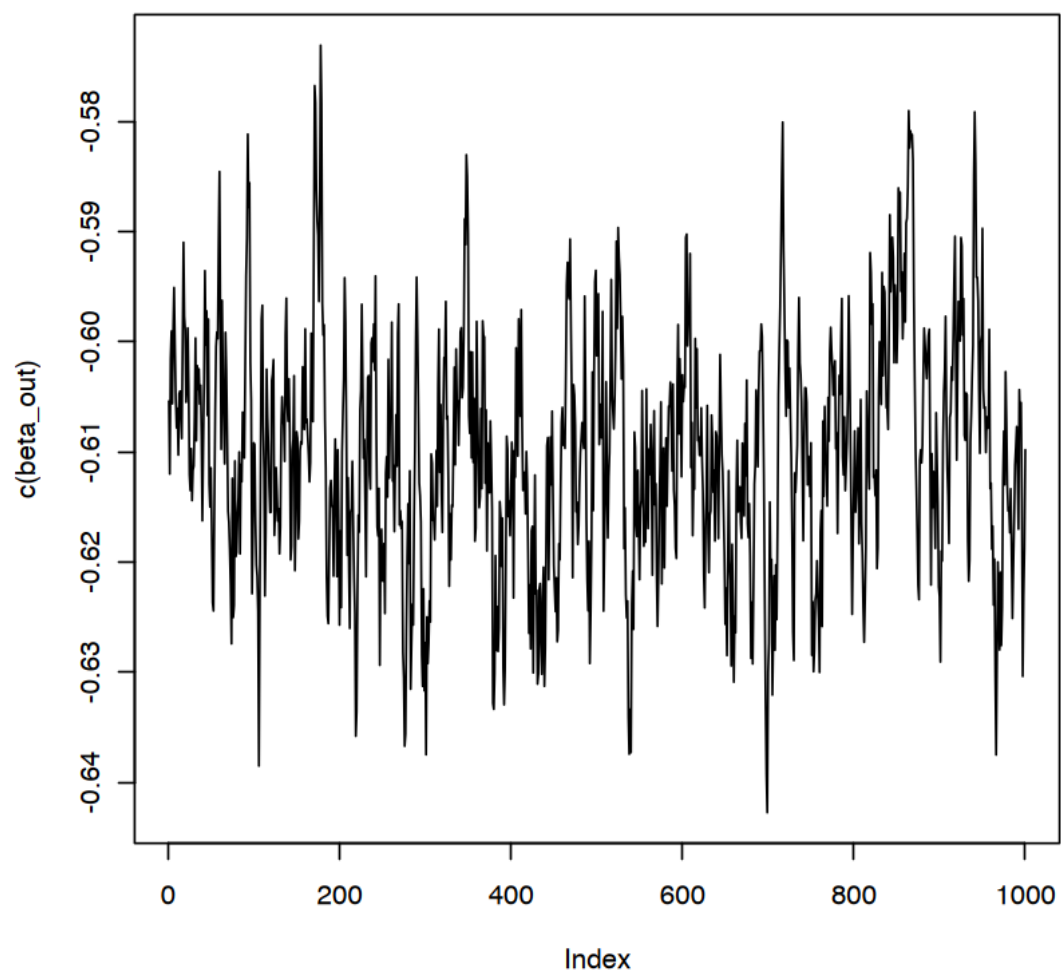
Vediamo le catene dei parametri

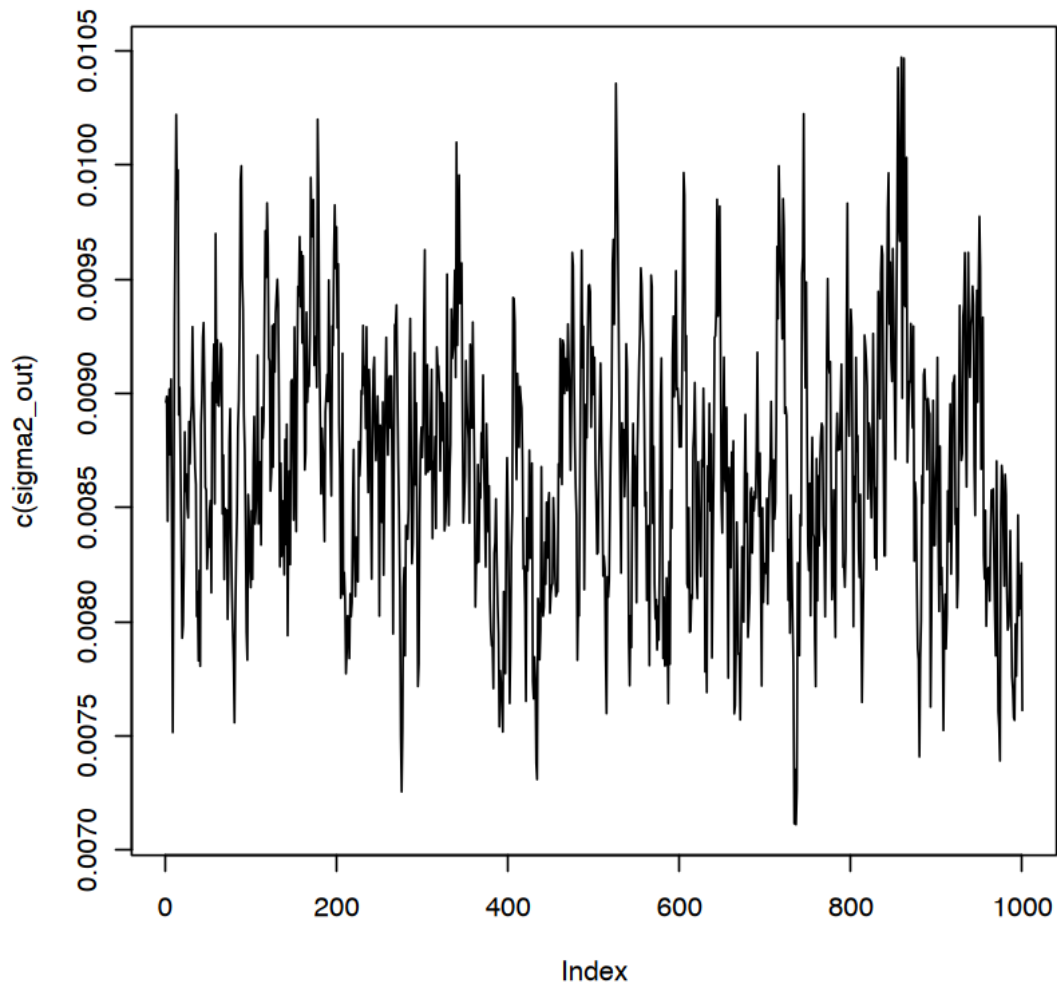
```

[168]: plot(c(mu_out), type="l")
       plot(c(beta_out), type = "l")
       plot(c(sigma2_out), type = "l")

```







Forse servivano più iterazioni, visto che c'è molta autocorrelazione per μ , ma per motivi computazionali (ci mette un po') accontentiamoci

Possiamo adesso mostrare la media a posteriori della figura, insieme ai limiti inferiori (pixel by pixel) e superiori della medie

```
[169]: data_long$mean_out <- rowMeans(mean_out)
data_long$q1 <- apply(mean_out,1, function(x) quantile(x, probs = 0.025))
data_long$q2 <- apply(mean_out,1, function(x) quantile(x, probs = 0.975))

p1 <- data_long %>% ggplot(aes(x = x, y = y, fill = mean_out)) +
  geom_tile() +
```

```

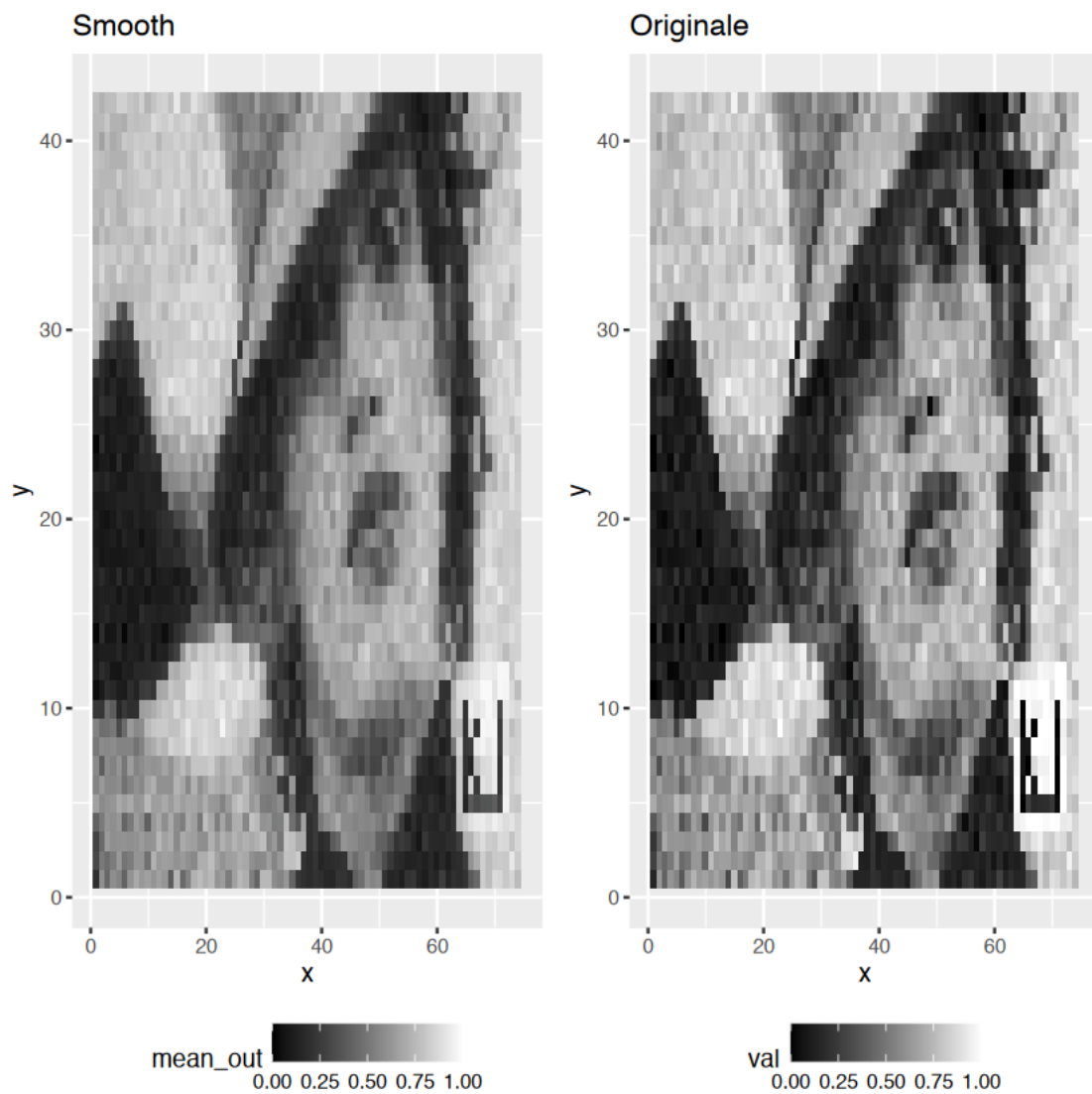
    scale_fill_gradient(low = "black", high = "white", limits = c(0, 1)) +
    ↪ggtitle("Smooth") + theme(legend.position = "bottom")
p2 <- data_long %>% ggplot(aes(x = x, y = y, fill = val)) +
  geom_tile() +
  scale_fill_gradient(low = "black", high = "white", limits = c(0, 1)) +
  ↪ggtitle("Originale") + theme(legend.position = "bottom")

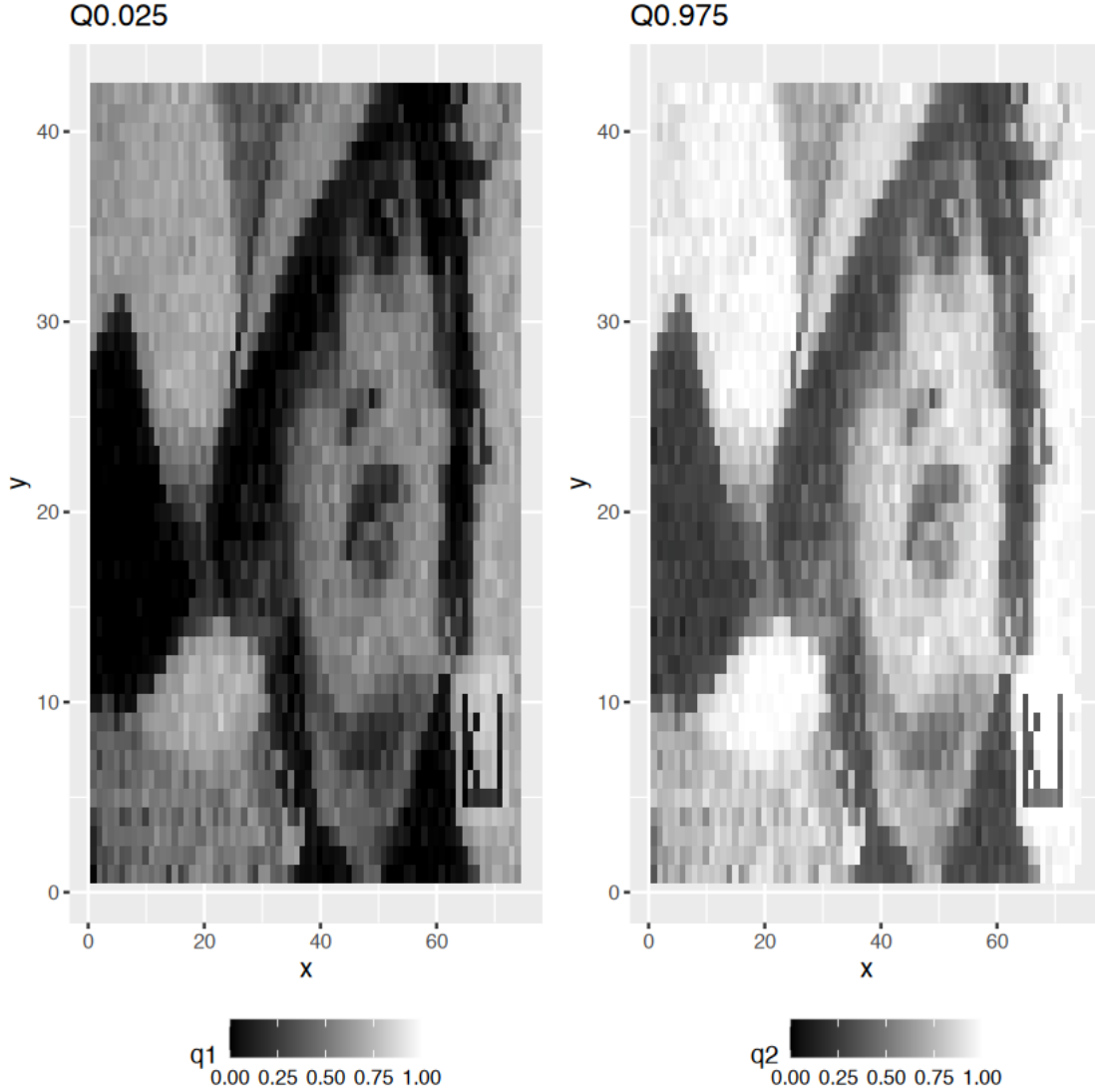
grid.arrange(p1,p2, ncol=2)

p1 <- data_long %>% ggplot(aes(x = x, y = y, fill = q1)) +
  geom_tile() +
  scale_fill_gradient(low = "black", high = "white", limits = c(0, 1)) +
  ggtitle("Q0.025") +
  theme(legend.position = "bottom")
p2 <- data_long %>% ggplot(aes(x = x, y = y, fill = q2)) +
  geom_tile() +
  scale_fill_gradient(low = "black", high = "white", limits = c(0, 1)) +
  ggtitle("Q0.975") +
  theme(legend.position = "bottom")

grid.arrange(p1, p2, ncol = 2)

```





L'immagine è sicuramente più pulita.

Il problema di questo modello, è che noi stiamo usando un modello gaussiano, che per costruzione si modifica in maniera continua e liscia. Ma la figura non lo è (c'è il volto, i capelli, e il background che cambiano “improvvisamente” e non in maniera smooth). Questa è anche, probabilmente, la ragione per cui la catena di μ ha difficoltà e è molto autocorrelata.

Possiamo fare una cosa più interessante per tener conto delle considerazioni fatte. Introduciamo una variabile

$$Z_l \equiv Z_{i,j} \in \{1, 2, \dots, K\}$$

che rappresenta a quale delle K componenti/feature (capelli, volto, background etc) appartiene il punto l -esimo. Imponiamo poi che la distribuzione delle Y sia

$$Y_{i,j} | w_{i,j}, z_{i,j} \sim N(\mu_{z_{i,j}} + \beta w_{i,j}, \sigma^2)$$

Quindi, invece di un solo valore di μ , ne abbiamo K . Questo fa in modo che in base alla feature a cui appartiene il punto (i, j) la media possa modificarsi. Potremmo fare la stessa cosa anche per β e σ^2 , ma teniamo le cose semplici.

Dobbiamo adesso definire un modello per $z_{i,j}$. Anche qui, come per l'ICAR, ha senso definire le full conditional. Per esempio possiamo dire che

$$P(Z_l = k | \mathbf{Z}_{-l}) \propto \exp \left(\rho \sum_{h \sim l} I(z_h = k) \right)$$

dove

$$I(z_h = k)$$

è uguale a 1 se z_h è uguale a k , 0 altrimenti, e $\rho > 0$, che è chiamato anche inverse-temperature, è un parametro. Quindi se Z_l ha tanti vicini che hanno un valore pari a k , la probabilità di k aumenta. Questo induce della dipendenza spaziale.

Potremmo usare il Brook's lemma per determinare la distribuzione congiunta, che in questo caso è

$$f(\mathbf{Z}) = \frac{\exp \left(-\rho \sum_{l=1}^n \sum_{h \sim l, h > l} I(z_h = z_l) \right)}{\sum_{d_1=1}^K \sum_{d_2=1}^K \dots \sum_{d_n=1}^K \exp \left(-\rho \sum_{l=1}^n \sum_{h \sim l, h > l} I(d_h = d_l) \right)}$$

La costante di normalizzazione è impossibile da calcolare direttamente (esistono metodi approssimativi). Possiamo risolvere imponendo ρ fisso, e settarlo a un valore (potremmo provarne diversi e poi usare AIC e similare per decidere il valore migliore) **NOTA** Per il calcolo della congiunta, e per utilizzare i vari teoremi, potete fare finta che invece di

$$Z_l \in \{1, 2, \dots, K\}$$

avete

$$Z_l \in \{0, 1, \dots, K-1\}$$

che del punto di vista matematico è equivalente, ma vi permette di determinare le funzioni Q .

Nell'MCMC possiamo simulare le Z_l una alla volta. Notate che visto che le Z_l sono discrete e assumono un numero finito di valori, fintanto che ogni full conditional è finita, anche la congiunta è finita e quindi una congiunta proper.

La full conditional di Z_i , visto che è discreta è ancora una distribuzione discreta con

$$P(Z_l = k | \dots) \propto \exp \left(\rho \sum_{h \sim l} I(z_h = k) \right) \phi(Y_l | \mu_k + \beta w_l, \sigma^2)$$

Stimiamo il modello assumendo

$$K = 10 \quad \rho = 0.3$$

Quando simuliamo dalla full conditional di Z_l , uso un trick, che spiego nella lezione sui modelli mistura. Si fa perchè altrimenti si perde precisione nei valori $P(Z_l = k | \dots)$ dovuto al fatto che le probabilità non normalizzate possono essere tutte vicine a zero.

```

[170]: set.seed(1)
# Define MCMC parameters
niter <- 5000      # Total number of MCMC iterations
burnin <- 3000    # Number of burn-in iterations to discard
thin <- 2         # Thinning interval
n <- length(data_long$val) # Number of observations
# Compute the number of samples to save after thinning and burn-in
sample_to_save <- floor((niter - burnin) / thin)

# Hyperparameters for priors
prior_par_mean_normal <- 0      # Mean of the normal prior for beta and mu
prior_par_var_normal <- 10     # Variance of the normal prior for beta and mu
prior_par_1_sigma2 <- 1        # Shape parameter for the inverse-gamma prior
  ↳ on  $\sigma^2$ 
prior_par_2_sigma2 <- 1        # Scale parameter for the inverse-gamma prior
  ↳ on  $\sigma^2$ 
inv_temp_zeta <- 0.3           # Inverse temperature parameter for zeta
  ↳ updates
K <- 10                      # Number of mixture components for zeta

# Initialize model parameters
mu_mcmc <- matrix(seq(0.1, 0.99, length.out=K), nrow = K) #
  ↳ Mixture means (one for each component)
beta_mcmc <- 0.2              # Regression coefficient
sigma2_mcmc <- 0.5            # Variance of the errors
gp_mcmc <- matrix(0, nrow = nrow(data_long), ncol = 1) # Latent Gaussian
  ↳ process

# creo una variabile che accorpa in K gruppi le osservazioni, basandoci sul
  ↳ loro valore. La uso per inizializzare zeta
order_var <- floor((rank(data_long$val, ties.method = "first") - 1) / (n - 1) *
  ↳ (K - 1)) + 1
zeta_mcmc <- matrix(order_var, nrow = nrow(data_long), ncol = 1) # Cluster
  ↳ assignments

# Matrices to store MCMC samples
mu_out <- matrix(NA, ncol = sample_to_save, nrow = K) # Store samples of
  ↳ mu
beta_out <- matrix(NA, ncol = sample_to_save, nrow = 1) # Store samples of
  ↳ beta
sigma2_out <- matrix(NA, ncol = sample_to_save, nrow = 1) # Store samples of
  ↳  $\sigma^2$ 

```

```

gp_out <- matrix(NA, ncol = sample_to_save, nrow = nrow(data_long)) # Store
↳samples of latent Gaussian process
mean_out <- matrix(NA, ncol = sample_to_save, nrow = nrow(data_long)) # Store
↳predicted means
zeta_out <- matrix(NA, ncol = sample_to_save, nrow = nrow(data_long)) # Store
↳cluster assignments

# Initialize latent variable
y_latent <- data_long$val
if (length(w_one) > 0) {
  # Update y_latent for observations with value 1
  y_latent[w_one] <- rtruncnorm(length(w_one), a = 1, b = Inf, mean =
↳mu_mcmc[zeta_mcmc[w_one]] + beta_mcmc * gp_mcmc[w_one], sd =
↳sqrt(sigma2_mcmc))
}
if (length(w_zero) > 0) {
  # Update y_latent for observations with value 0
  y_latent[w_zero] <- rtruncnorm(length(w_zero), a = -Inf, b = 0, mean =
↳mu_mcmc[zeta_mcmc[w_zero]] + beta_mcmc * gp_mcmc[w_zero], sd =
↳sqrt(sigma2_mcmc))
}

app <- burnin # Number of iterations before saving samples

# Main MCMC loop
for (save_iter in 1:sample_to_save) {
  for (imcmc in 1:app) {
    # Update sigma^2
    sigma2_mcmc <- 1 / rgamma(1, shape = n / 2 + prior_par_1_sigma2, rate =
↳sum((y_latent - mu_mcmc[zeta_mcmc] - beta_mcmc * gp_mcmc)^2) / 2 +
↳prior_par_2_sigma2)

    # Update beta
    post_var <- 1 / (sum(gp_mcmc^2) / sigma2_mcmc + 1 / prior_par_var_normal)
    post_mean <- post_var * (sum(gp_mcmc * (y_latent - mu_mcmc[zeta_mcmc])) /
↳sigma2_mcmc + prior_par_mean_normal / prior_par_var_normal)
    beta_mcmc <- rnorm(1, mean = post_mean, sd = sqrt(post_var))

    # Update mu for each mixture component
    for (k in 1:K) {
      w <- which(zeta_mcmc == k) # Indices of observations in cluster k
      post_var <- 1 / (length(w) / sigma2_mcmc + 1 / prior_par_var_normal)
      post_mean <- post_var * (sum(y_latent[w] - beta_mcmc * gp_mcmc[w]) /
↳sigma2_mcmc + prior_par_mean_normal / prior_par_var_normal)
      mu_mcmc[k] <- rnorm(1, mean = post_mean, sd = sqrt(post_var))
    }
  }
}

```

```

}

# Update y_latent
if (length(w_one) > 0) {
  y_latent[w_one] <- rtruncnorm(length(w_one), a = 1, b = Inf, mean =
↪mu_mcmc[zeta_mcmc[w_one]] + beta_mcmc * gp_mcmc[w_one], sd =
↪sqrt(sigma2_mcmc))
}
if (length(w_zero) > 0) {
  y_latent[w_zero] <- rtruncnorm(length(w_zero), a = -Inf, b = 0, mean =
↪mu_mcmc[zeta_mcmc[w_zero]] + beta_mcmc * gp_mcmc[w_zero], sd =
↪sqrt(sigma2_mcmc))
}

# Update gp_mcmc (latent Gaussian process)
for (i in 1:n) {
  neigh <- data_neigh[[i]] # Neighbor indices for observation i
  cond_var <- 1 / Sigma_inv[i, i]
  cond_mean <- (-(1 / Sigma_inv[i, i]) * Sigma_inv[i, neigh]) %*%
↪gp_mcmc[neigh]

  post_var <- 1 / (beta_mcmc^2 / sigma2_mcmc + 1 / cond_var)
  post_mean <- post_var * (beta_mcmc * (y_latent[i] -
↪mu_mcmc[zeta_mcmc[i]]) / sigma2_mcmc + cond_mean / cond_var)
  gp_mcmc[i] <- rnorm(1, mean = post_mean, sd = sqrt(post_var))
}

# Update zeta (cluster assignments)
for (i in 1:n) {
  neigh <- data_neigh[[i]]
  log_prob <- rep(NA, K)
  for (k in 1:K) {
    log_prob[k] <- inv_temp_zeta * sum(zeta_mcmc[neigh] == k) +
      dnorm(y_latent[i], mean = mu_mcmc[k] + beta_mcmc *
↪gp_mcmc[i], sd = sqrt(sigma2_mcmc), log = TRUE)
  }
  zeta_mcmc[i] <- sample(1:K, size = 1, prob = exp(log_prob -
↪max(log_prob)))
}

# Save samples after thinning
app <- thin
mu_out[, save_iter] <- mu_mcmc
beta_out[save_iter] <- beta_mcmc
sigma2_out[save_iter] <- sigma2_mcmc

```

```

gp_out[, save_iter] <- gp_mcmc
mean_out[, save_iter] <- mu_mcmc[zeta_mcmc] + beta_mcmc * gp_mcmc
zeta_out[, save_iter] <- zeta_mcmc
mean_out[which(mean_out[, save_iter] < 0), save_iter] <- 0
mean_out[which(mean_out[, save_iter] > 1), save_iter] <- 1
}

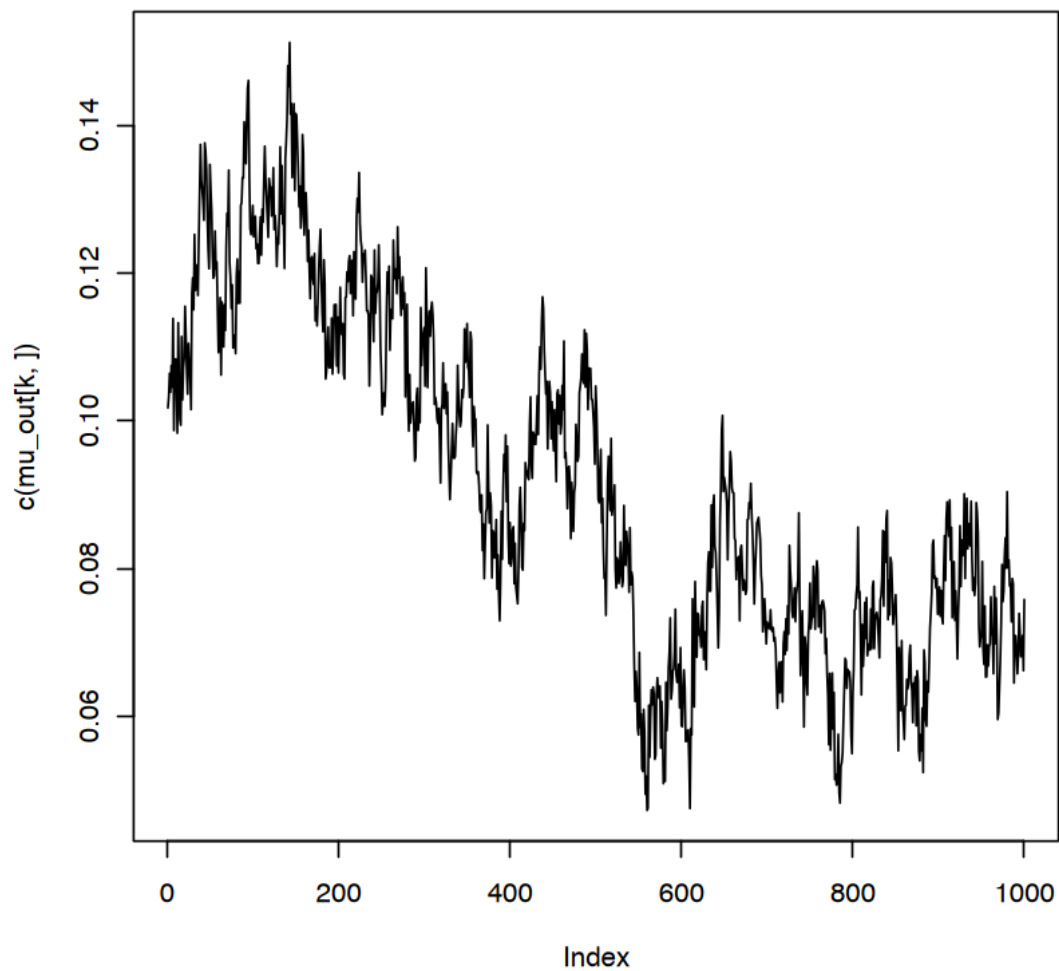
```

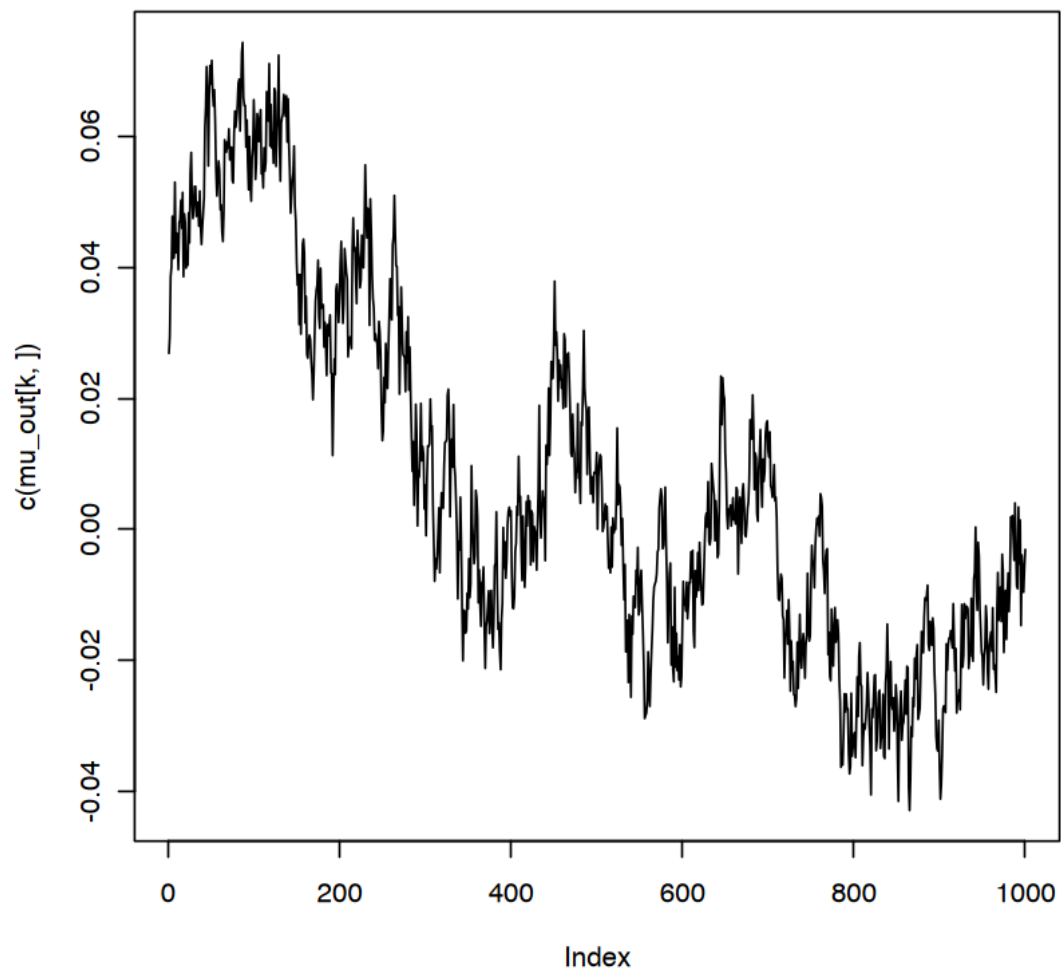
```

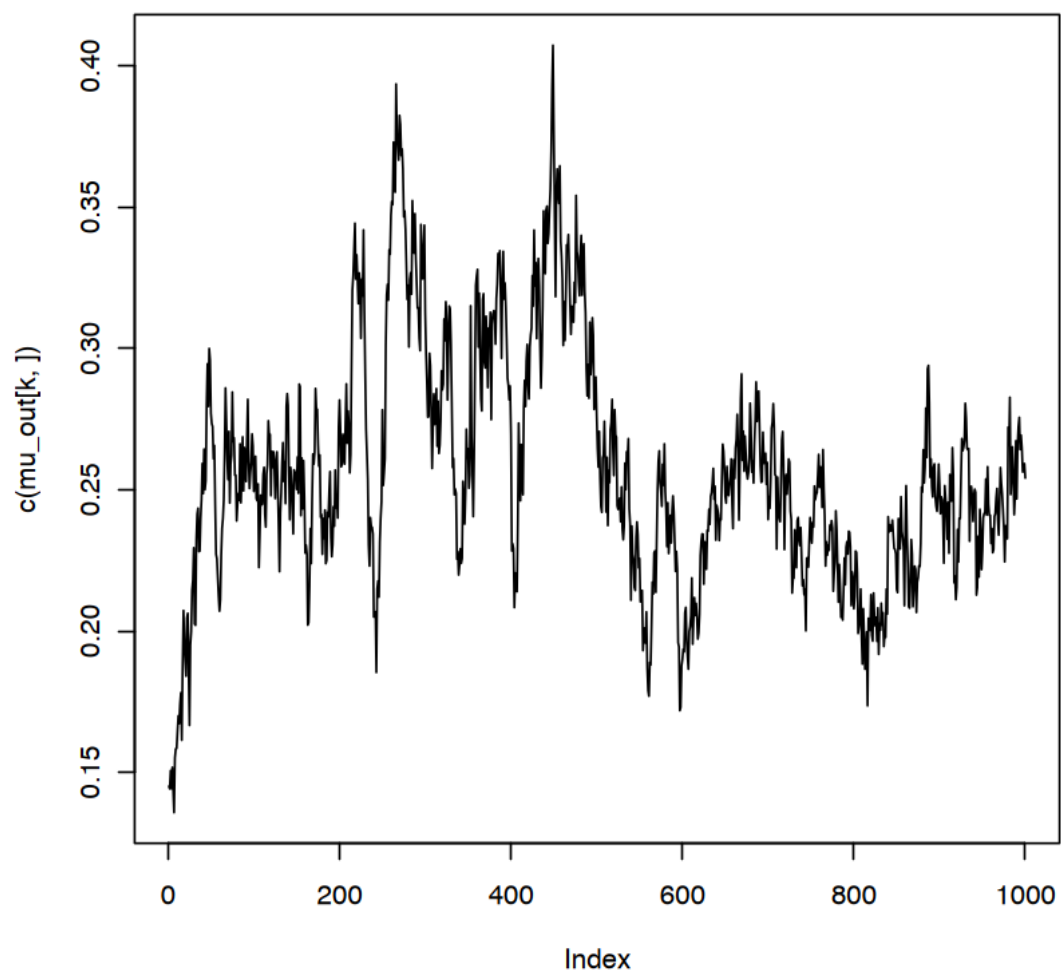
[171]: for(k in 1:K)
{
  plot(c(mu_out[k,]), type="l")
}

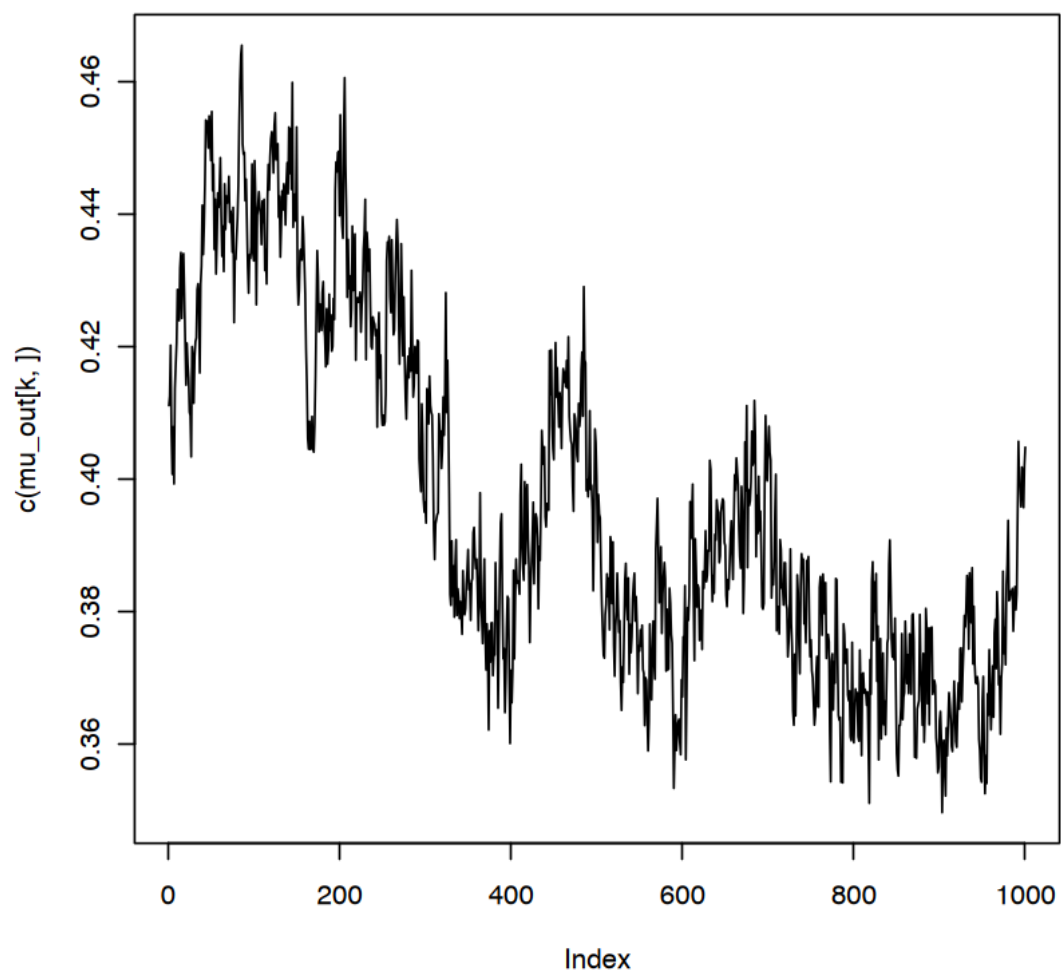
plot(c(beta_out), type = "l")
plot(c(sigma2_out), type = "l")

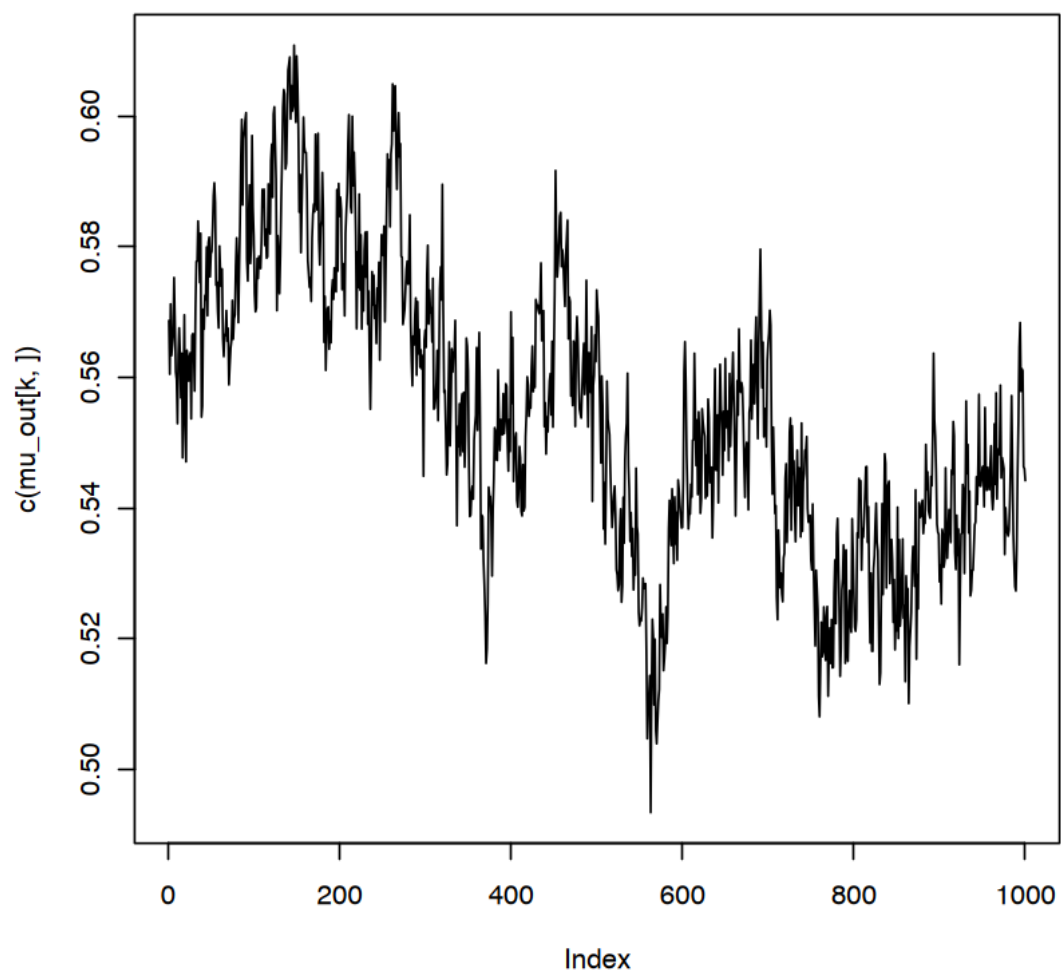
```

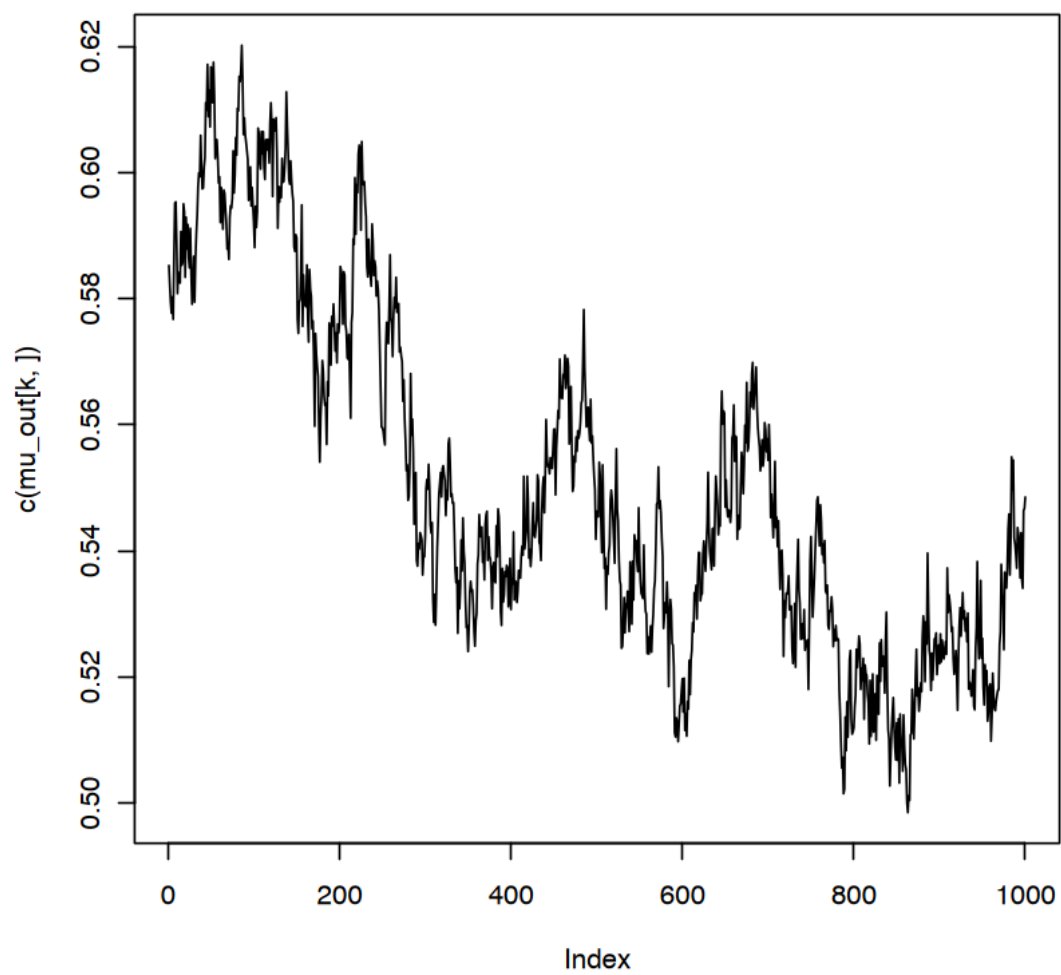


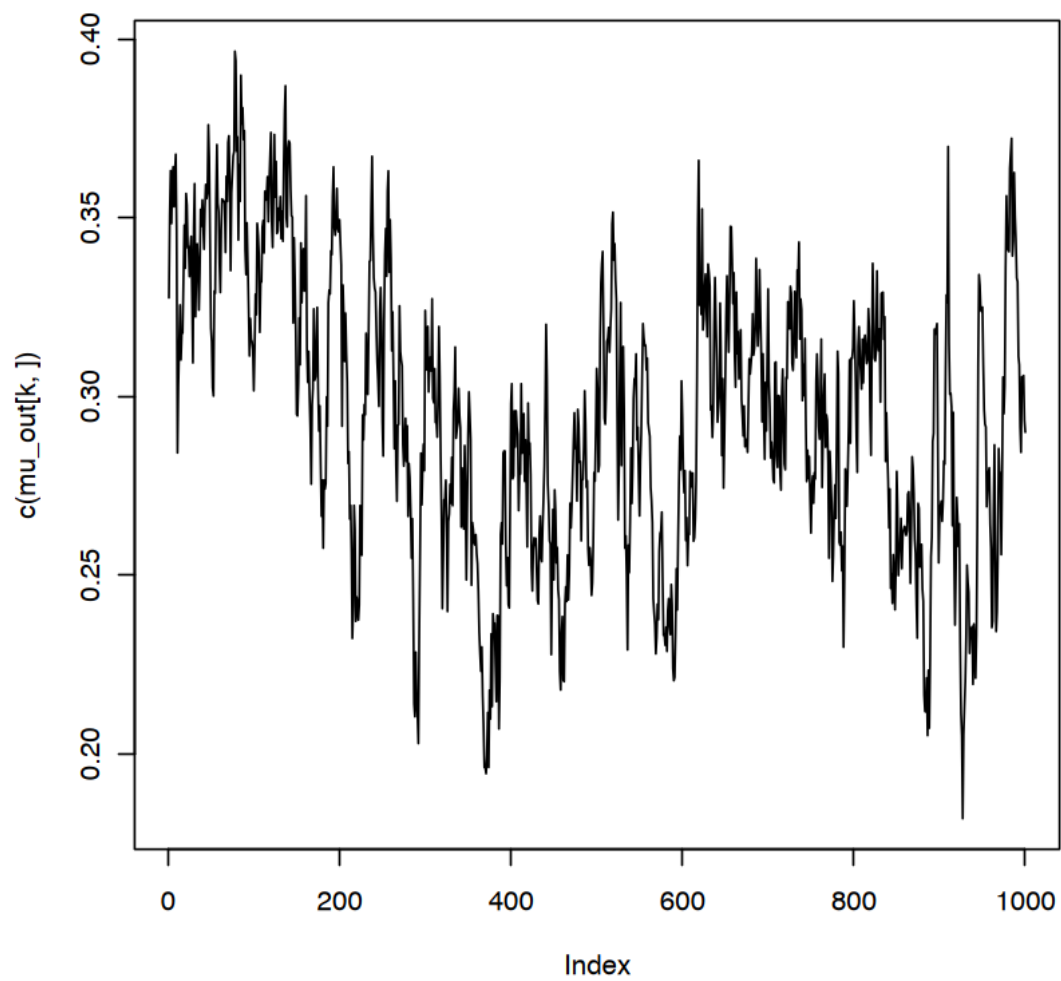


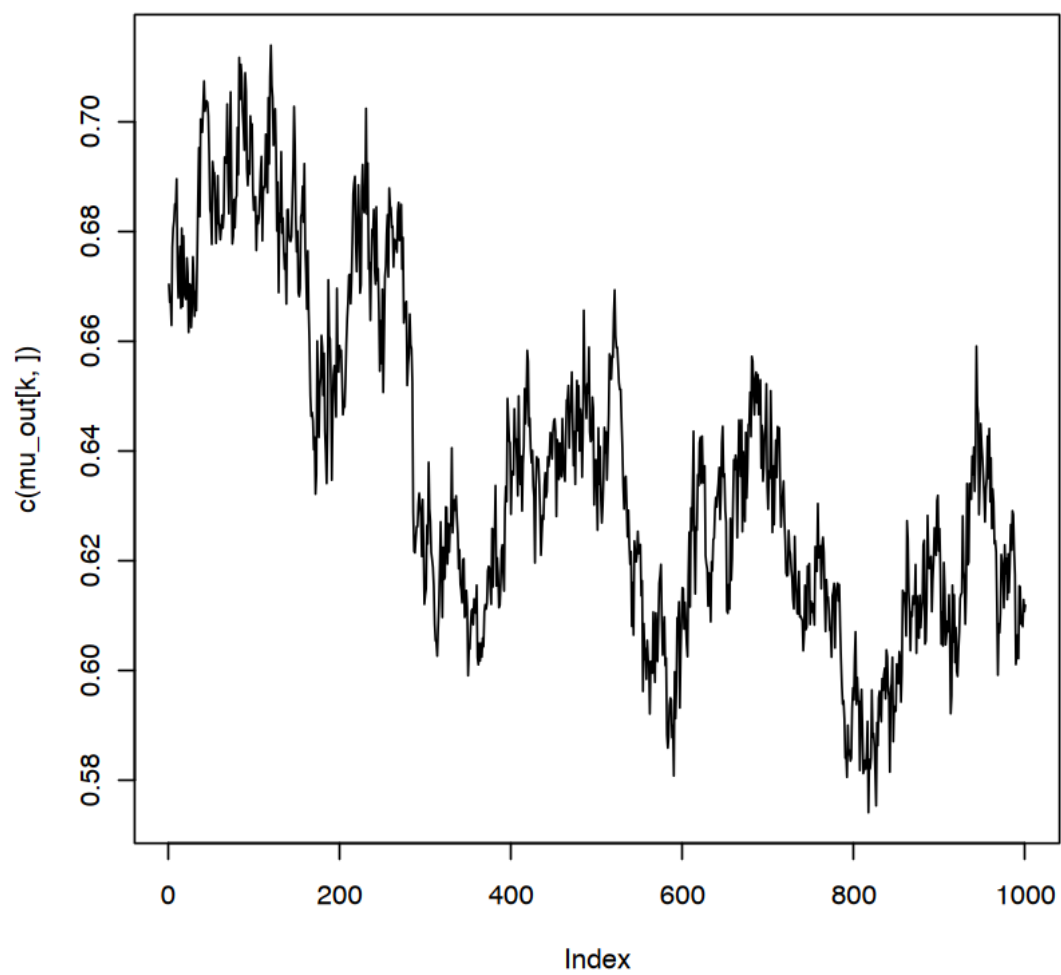


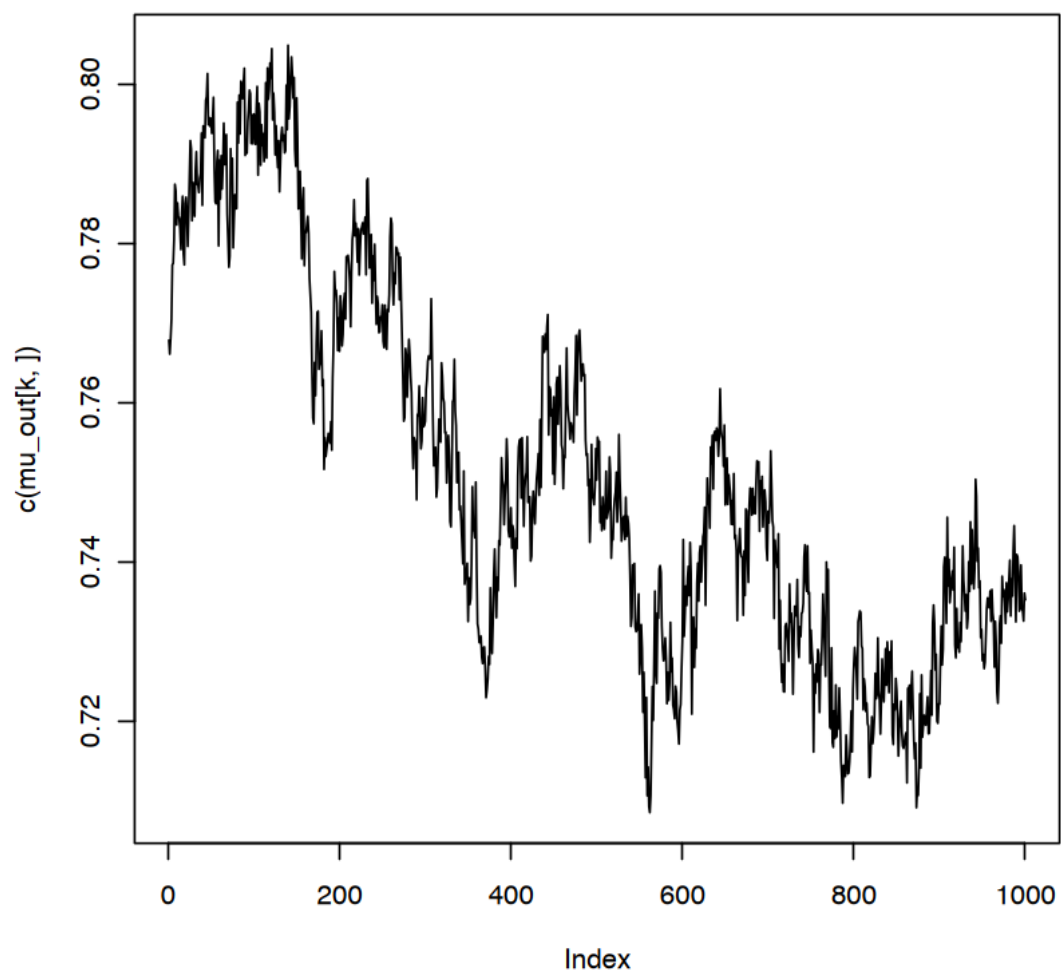


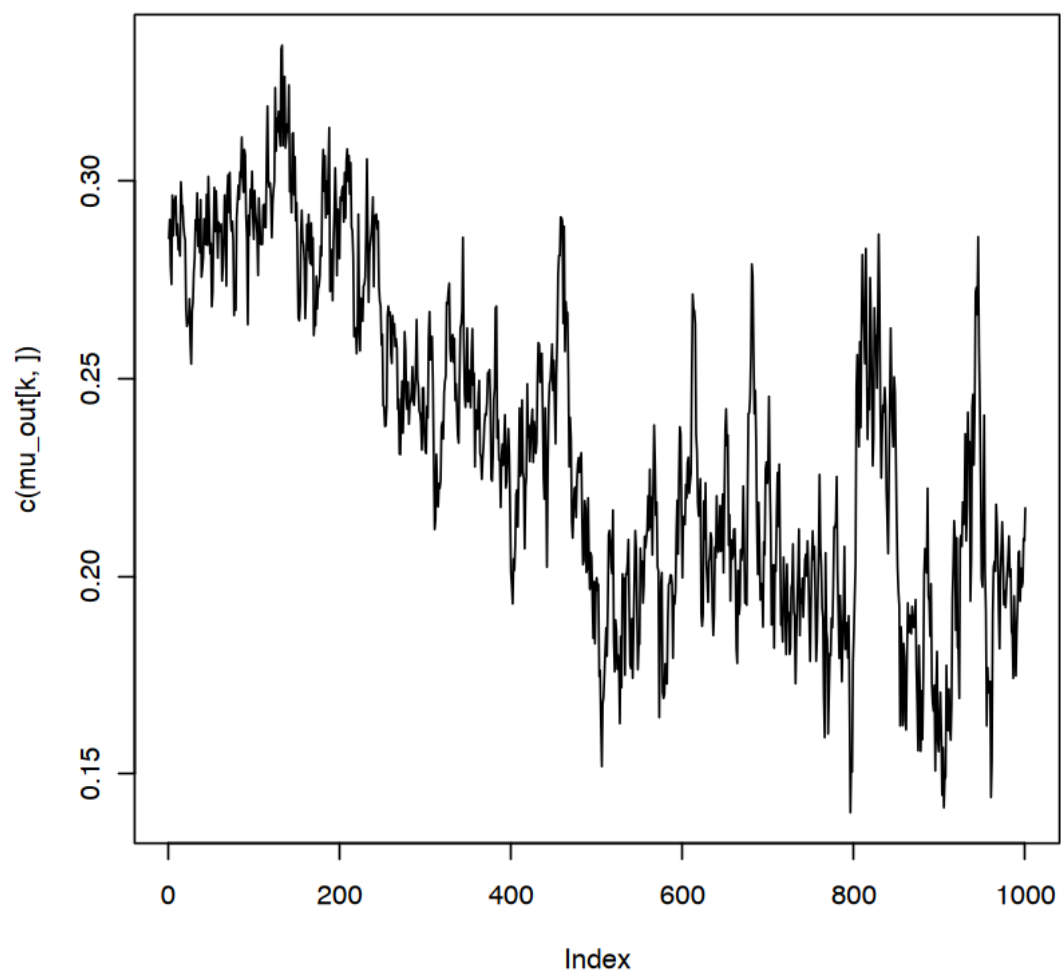


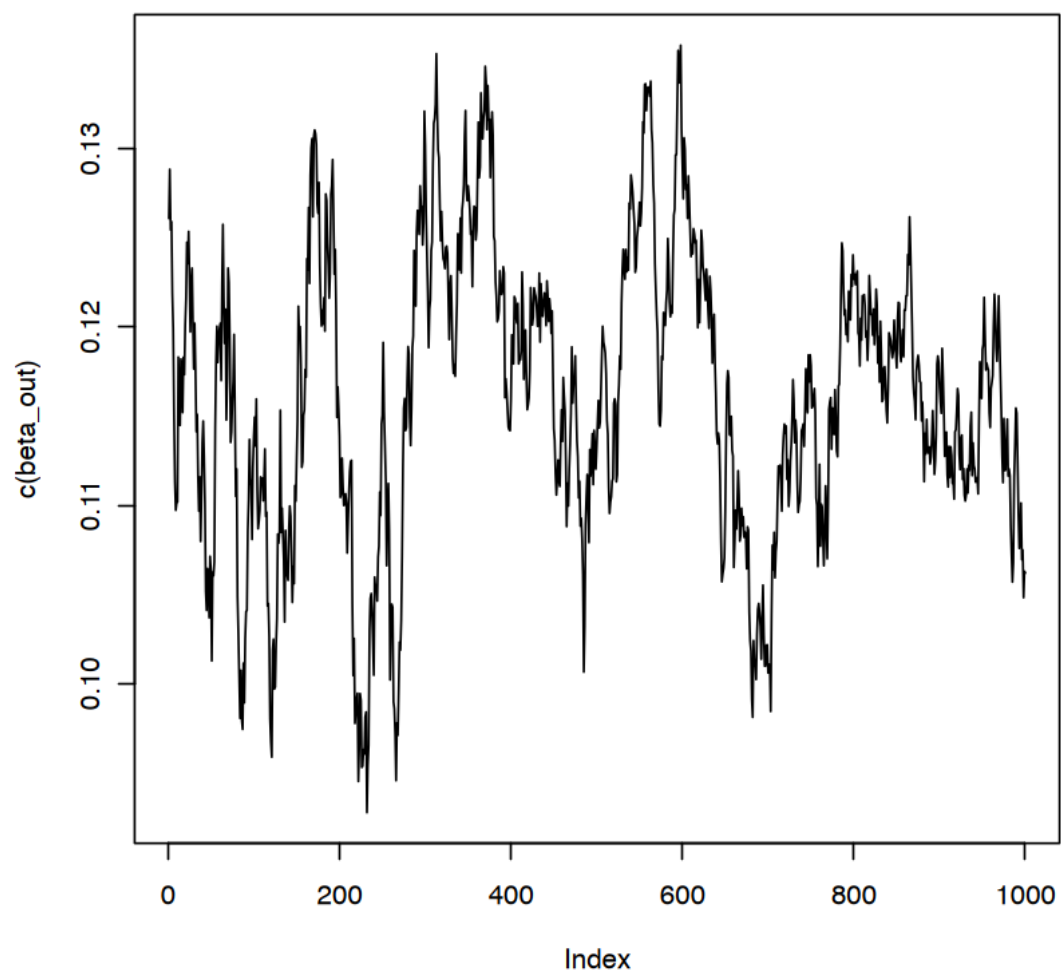


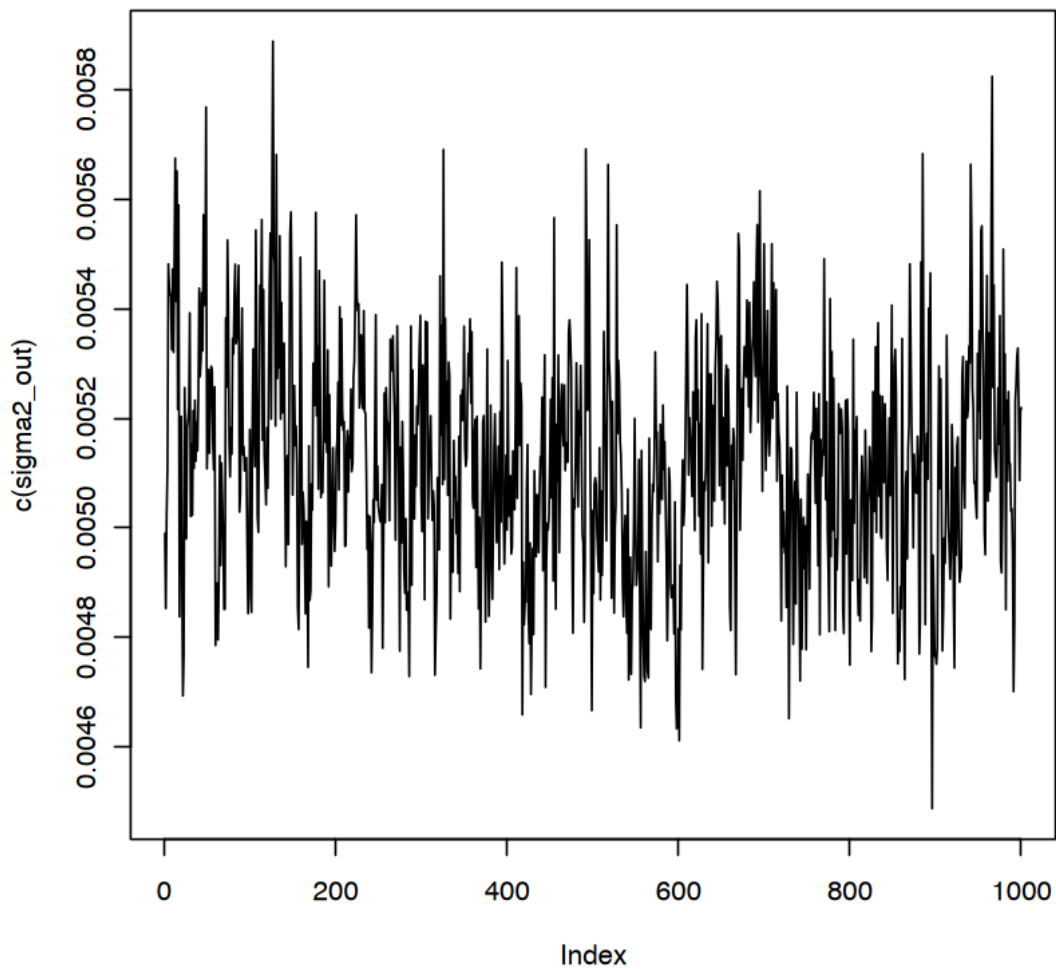












Anche in questo caso servirebbero più iterazioni per risolvere i problemi di μ . Ma probabilmente ne servono troppe, a meno che non si implementi un sampler un po' più "furbo", tipo birth/death, e merge/split

facciamo grafici simili a prima, ma in questo caso vogliamo anche mostrare anche una stima a posteriori della classificazione (Z). Per trovare una stima, invece della media a posteriori (che non ha senso), usiamo la moda. Indichiamo la moda come \hat{Z}_l

Insieme alla moda, per avere una stima della variabilità, mostriamo anche

$$P(Z_l = \hat{Z}_l | \mathbf{x})$$

Se questo valore è vicino a 1, allora la a posteriori è concentrata sulla moda, altrimenti se è piccolo, la moda è poco rappresentativa


```

[172]: findmode <- function(x) {
  TT <- table(as.vector(x))
  return(as.numeric(names(TT)[TT == max(TT)][1]))
}

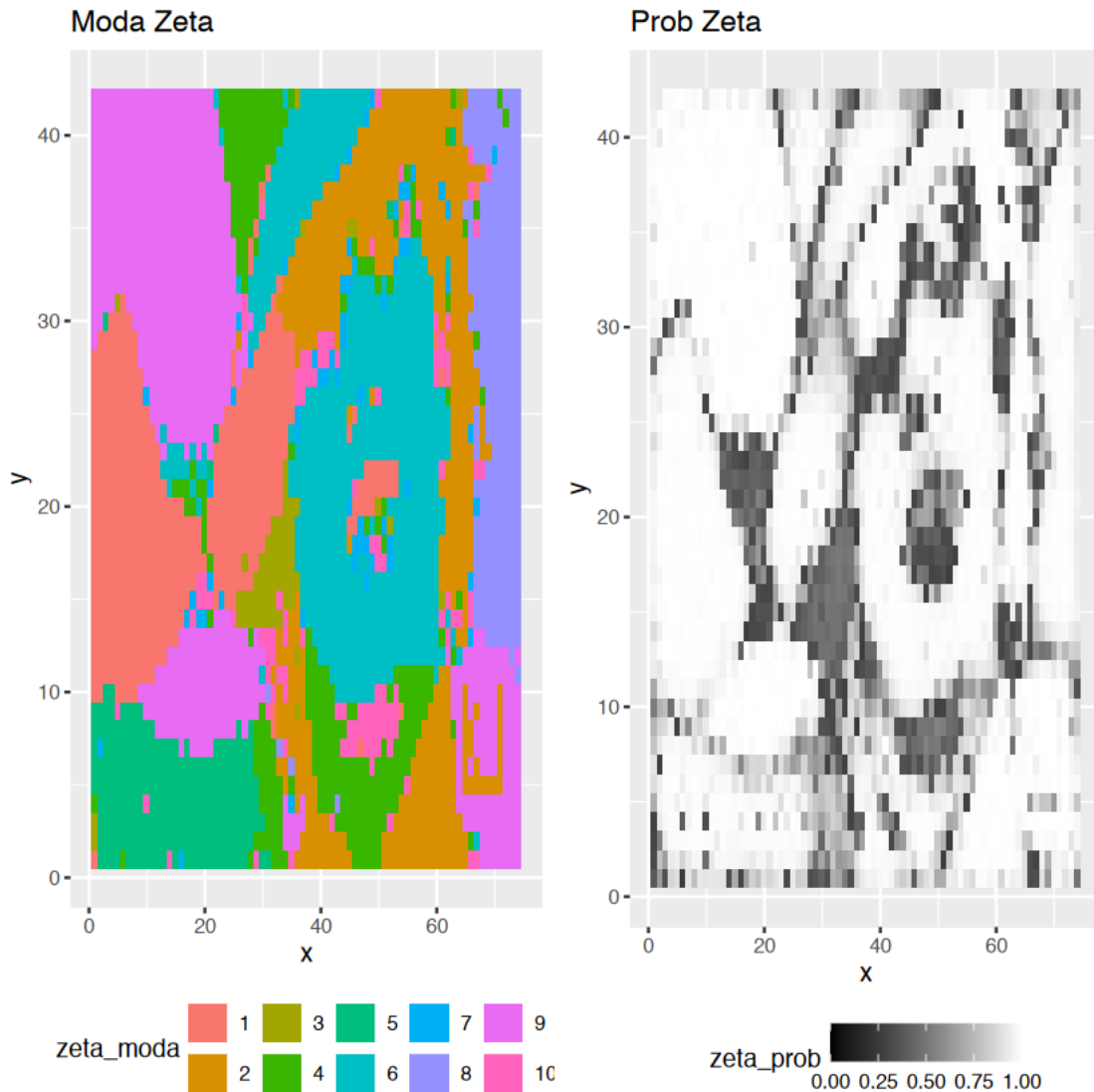
[173]: data_long$mean_out_2 <- rowMeans(mean_out)
data_long$q1_2 <- apply(mean_out, 1, function(x) quantile(x, probs = 0.025))
data_long$q2_2 <- apply(mean_out, 1, function(x) quantile(x, probs = 0.975))

# moda
data_long$zeta_moda <- factor(apply(zeta_out, 1, findmode))
# calcolo  $P(Z_l = Z_l/x)$ 
zeta_out_diff <- matrix(NA, nrow=nrow(zeta_out), ncol=ncol(zeta_out))
for(i in 1:ncol(zeta_out))
{
  zeta_out_diff[, i] <- zeta_out[, i] == data_long$zeta_moda
}

data_long$zeta_prob <- rowMeans(zeta_out_diff)

p1 <- data_long %>% ggplot(aes(x = x, y = y, fill = zeta_moda)) +
  geom_tile() + ggtitle("Moda Zeta") +
  theme(legend.position = "bottom")
p2 <- data_long %>% ggplot(aes(x = x, y = y, fill = zeta_prob)) +
  geom_tile() +
  ggtitle("Prob Zeta") + scale_fill_gradient(low = "black", high = "white",
  ↪limits = c(0, 1)) +
  theme(legend.position = "bottom")
grid.arrange(p1, p2, ncol = 2)

```



I punti in cui il modello è meno sicuro del valore di Z sono le zone in cui differenti feature della figura si incontrano. Volendo potremmo usare anche questo indice per trovare i contorni degli oggetti.

```
[174]: p1 <- data_long %>% ggplot(aes(x = x, y = y, fill = mean_out_2)) +
  geom_tile() +
  scale_fill_gradient(low = "black", high = "white", limits = c(0, 1)) +
  ggtitle("New Smooth") +
  theme(legend.position = "bottom")
p2 <- data_long %>% ggplot(aes(x = x, y = y, fill = mean_out)) +
  geom_tile() +
  scale_fill_gradient(low = "black", high = "white", limits = c(0, 1)) +
  ggtitle("Old Smooth") +
```

```

    theme(legend.position = "bottom")

grid.arrange(p1, p2, ncol = 2)

p1 <- data_long %>% ggplot(aes(x = x, y = y, fill = q1_2)) +
  geom_tile() +
  scale_fill_gradient(low = "black", high = "white", limits = c(0, 1)) +
  ggtitle("New Q0.025") +
  theme(legend.position = "bottom")
p2 <- data_long %>% ggplot(aes(x = x, y = y, fill = q2_2)) +
  geom_tile() +
  scale_fill_gradient(low = "black", high = "white", limits = c(0, 1)) +
  ggtitle("New Q0.975") +
  theme(legend.position = "bottom")

grid.arrange(p1, p2, ncol = 2)

p1 <- data_long %>% ggplot(aes(x = x, y = y, fill = q1)) +
  geom_tile() +
  scale_fill_gradient(low = "black", high = "white", limits = c(0, 1)) +
  ggtitle("Old Q0.025") +
  theme(legend.position = "bottom")
p2 <- data_long %>% ggplot(aes(x = x, y = y, fill = q2)) +
  geom_tile() +
  scale_fill_gradient(low = "black", high = "white", limits = c(0, 1)) +
  ggtitle("Old Q0.975") +
  theme(legend.position = "bottom")

grid.arrange(p1, p2, ncol = 2)

```

